

# TRANSPORTPHÄNOMENE IN FLÜSSIGKEITEN UND FESTKÖRPERN: WIE MAN MITTELS COMPUTERSIMULATION VERSTÄNDNIS GEWINNT

KURT BINDER, Mainz

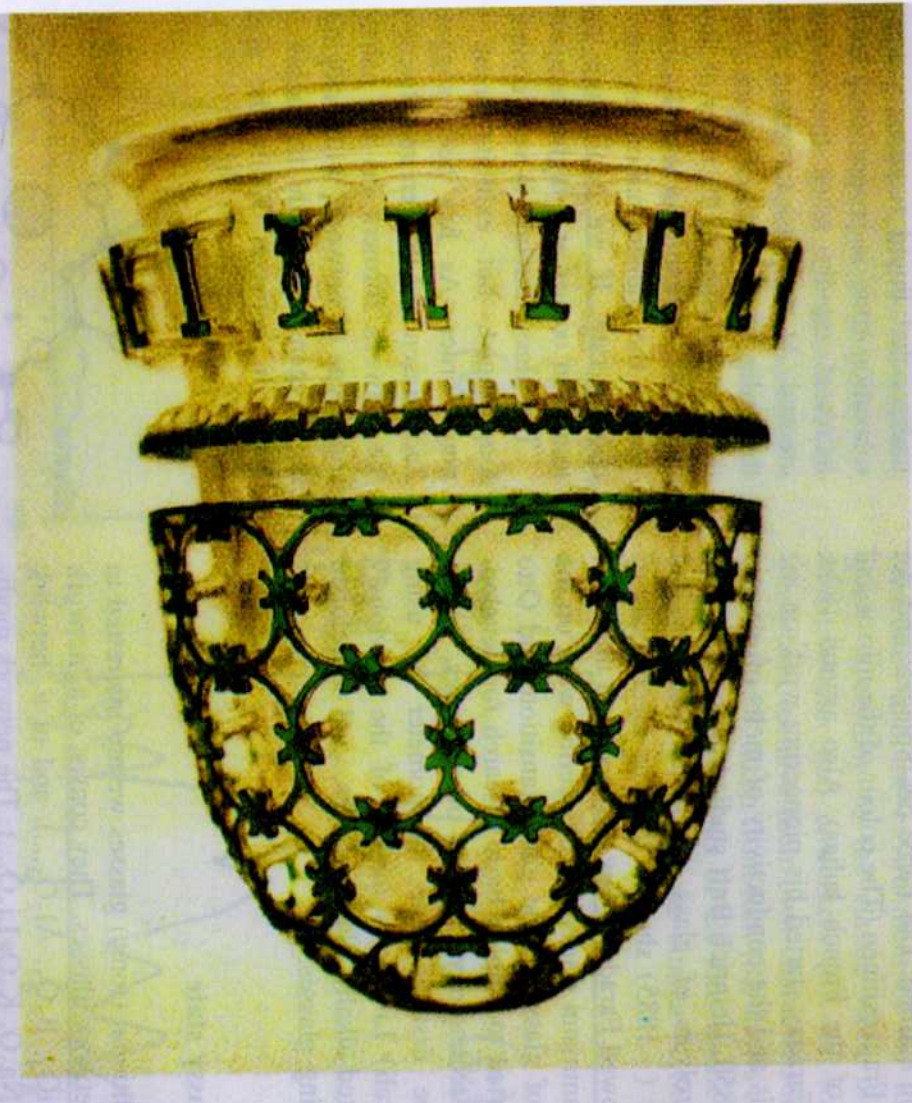
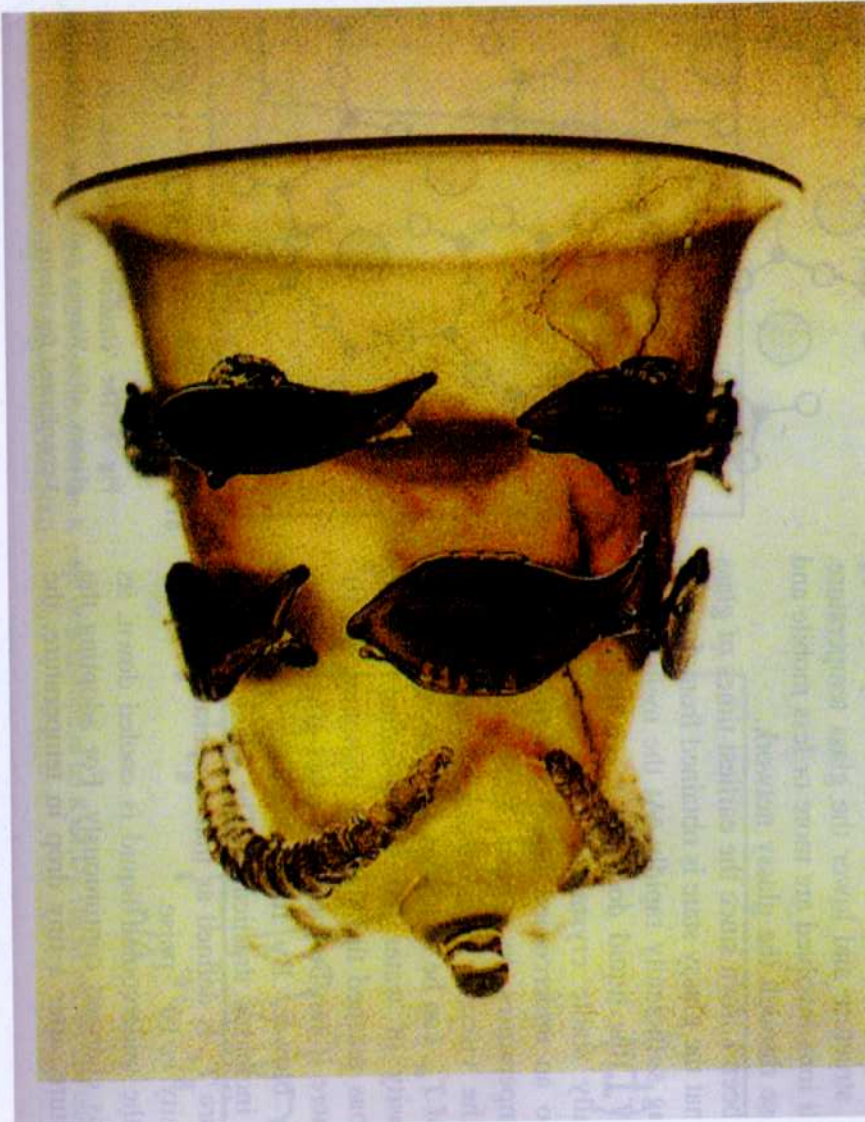
Mitarbeiter: W.KOB, J.HORBACH

-----  
L.YELASH, P.VIRNAU, W.PAUL, B.M.MOGNETTI

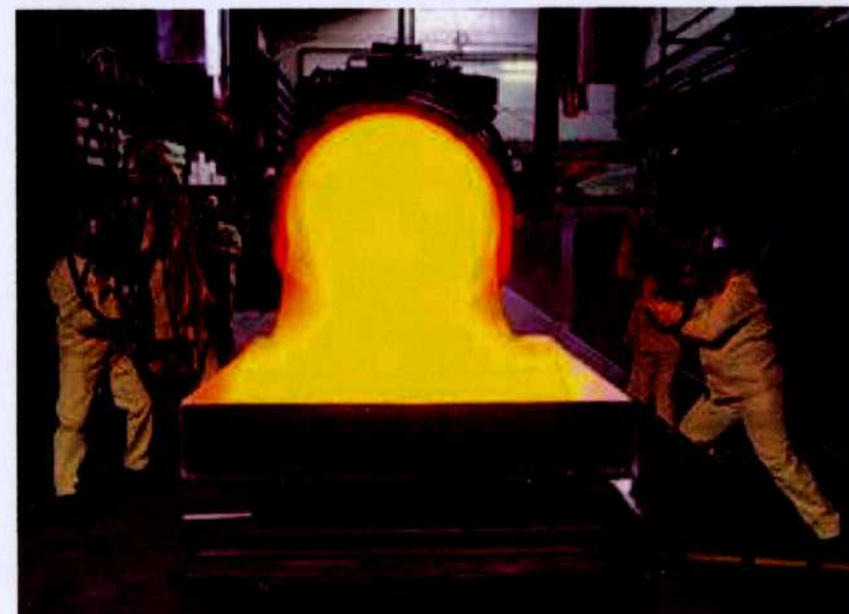
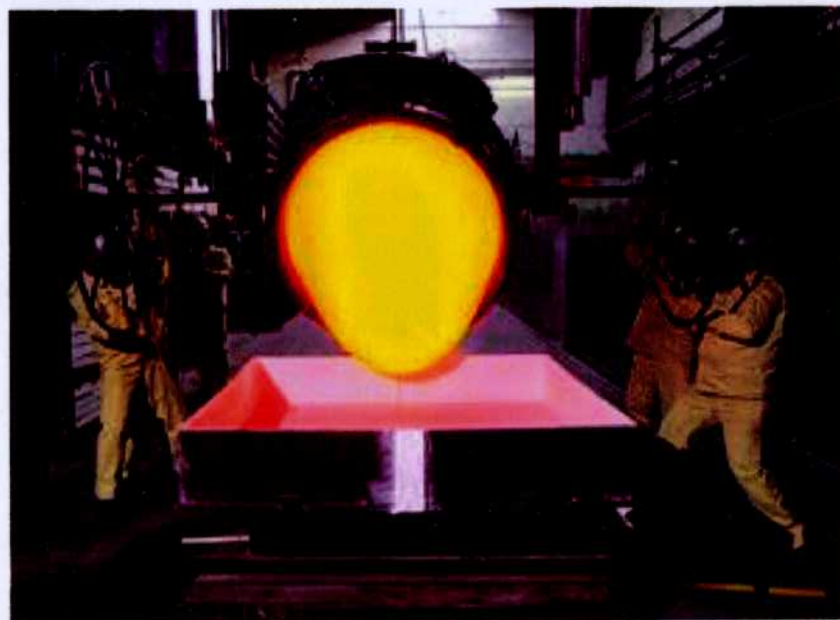
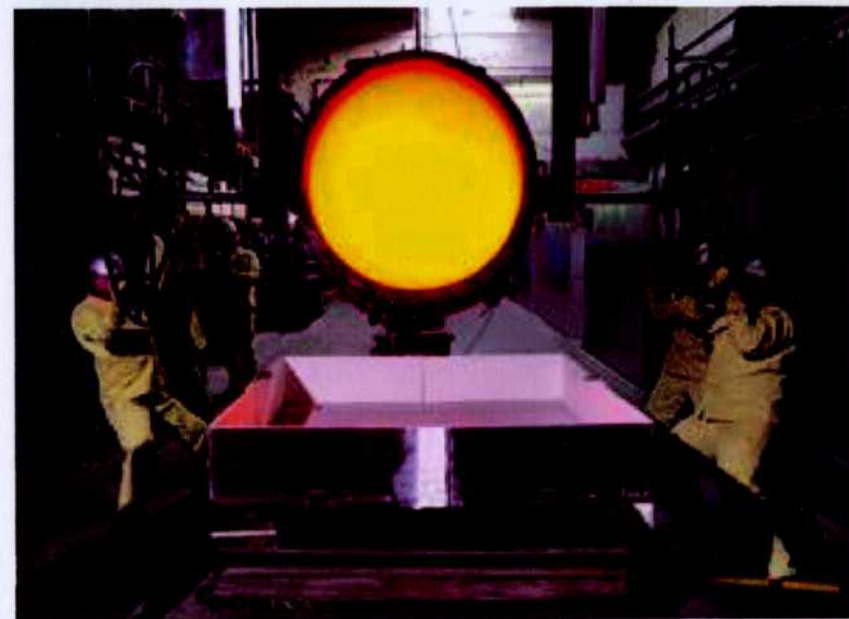
finanzielle Förderung:

SCHOTT AG, BASF SE, BMBF, DFG, NIC

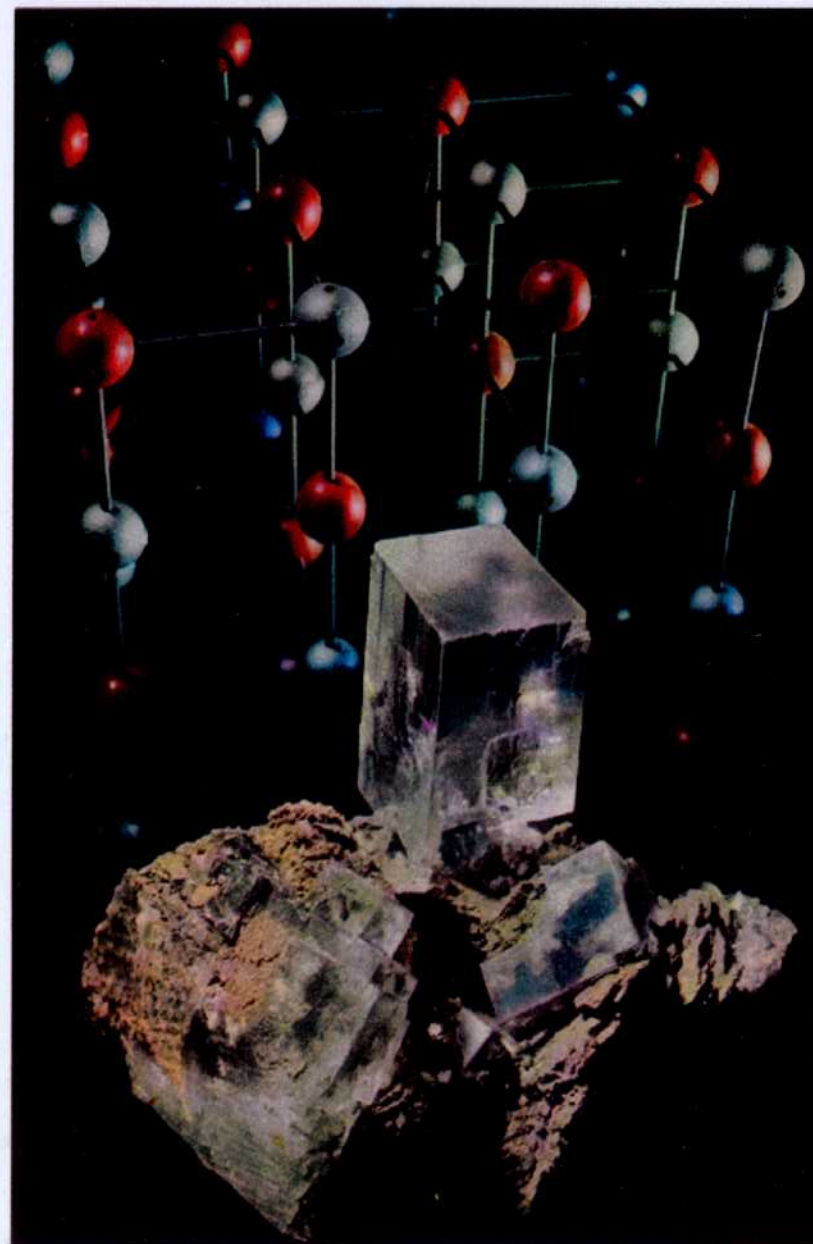
# Röm. Glasbehälter 3./4. Jh.

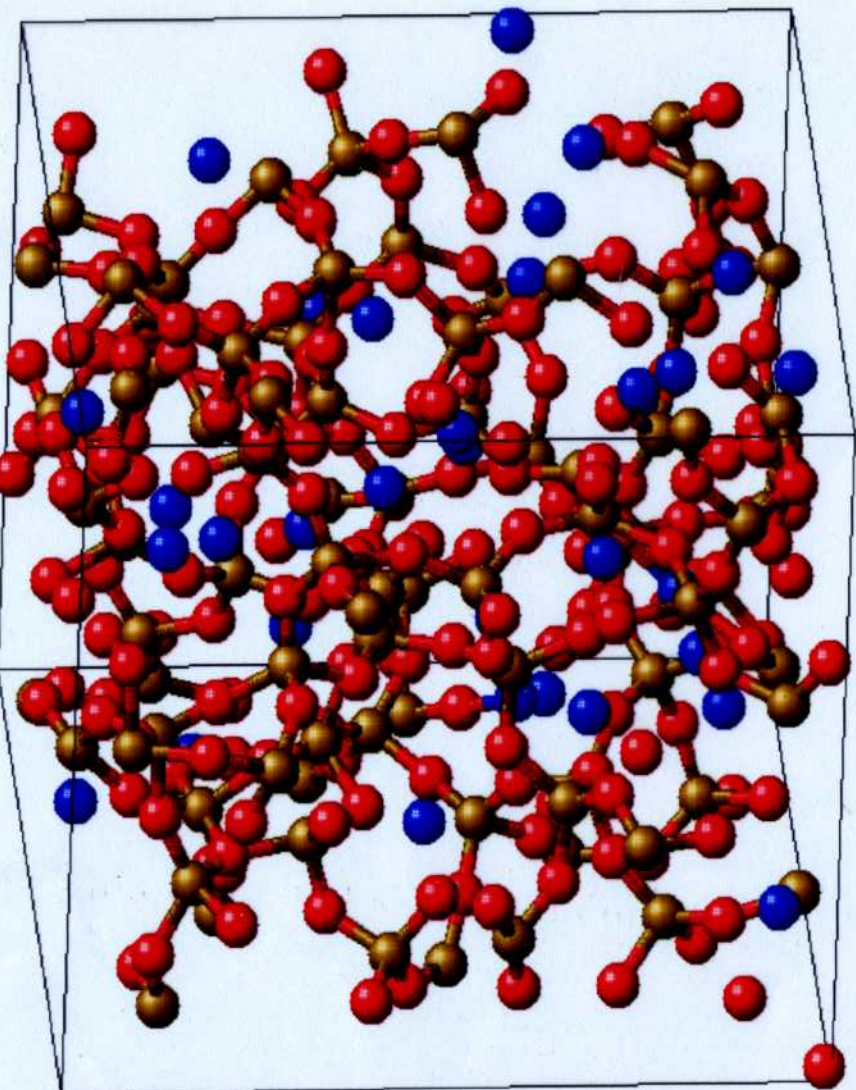


# Glasproduktion bei Schott



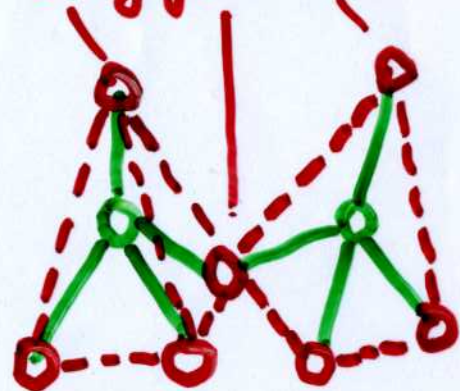
# Kristalline Struktur





$\text{SiD}_2$

oxygen atoms

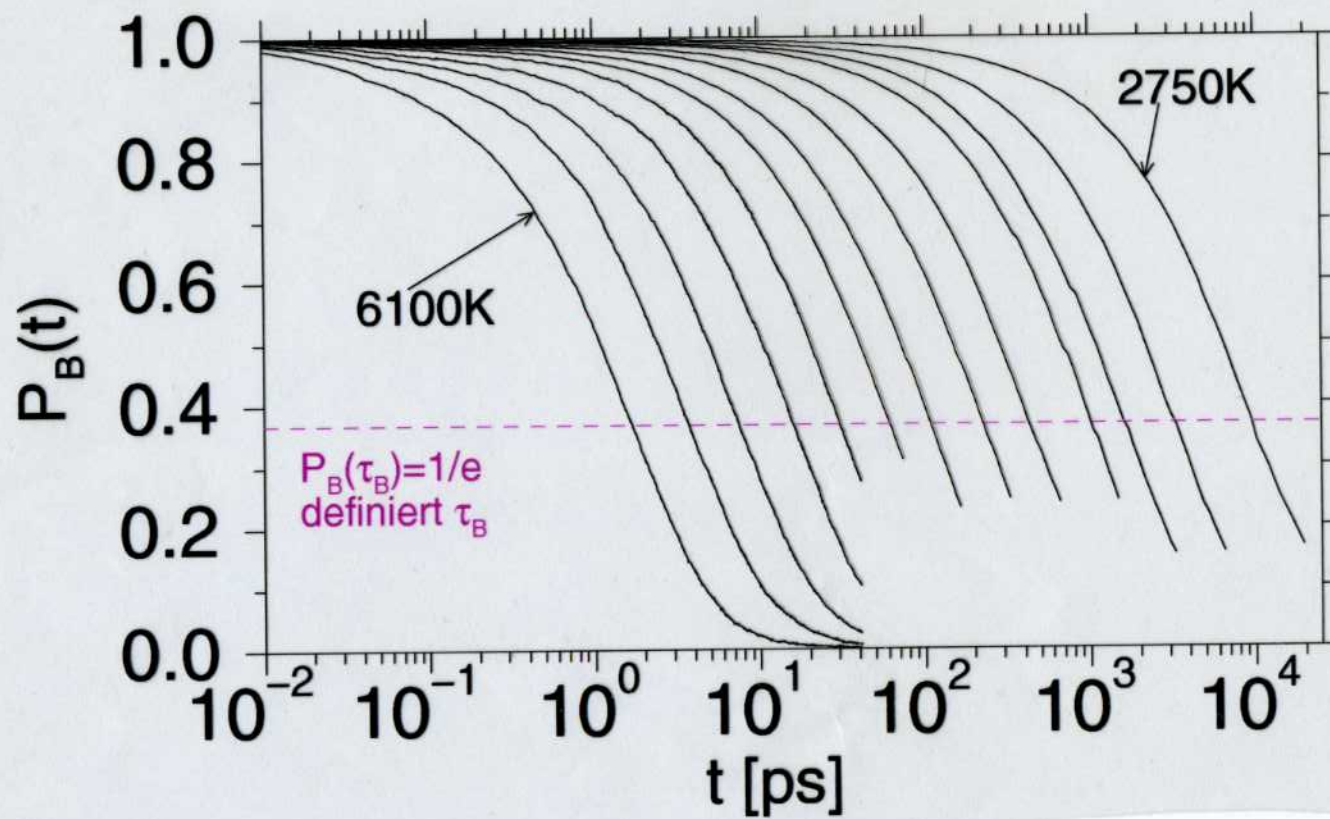


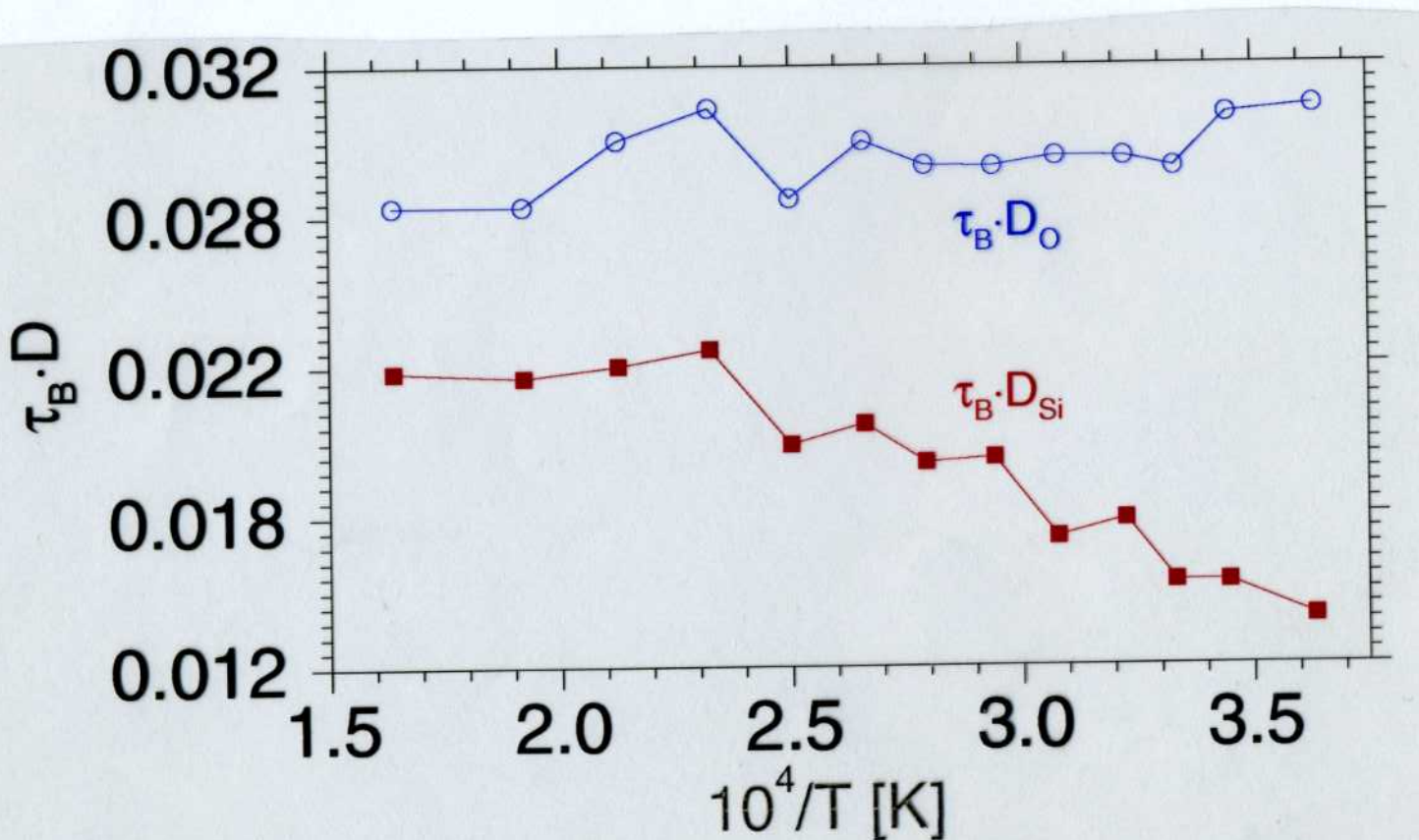
silicon atoms: in  
the centers of  
(distorted) tetrahedra

ideal network:  
every oxygen IS SHARED  
by two neighboring  
tetrahedra

## Das Brechen von Bindungen

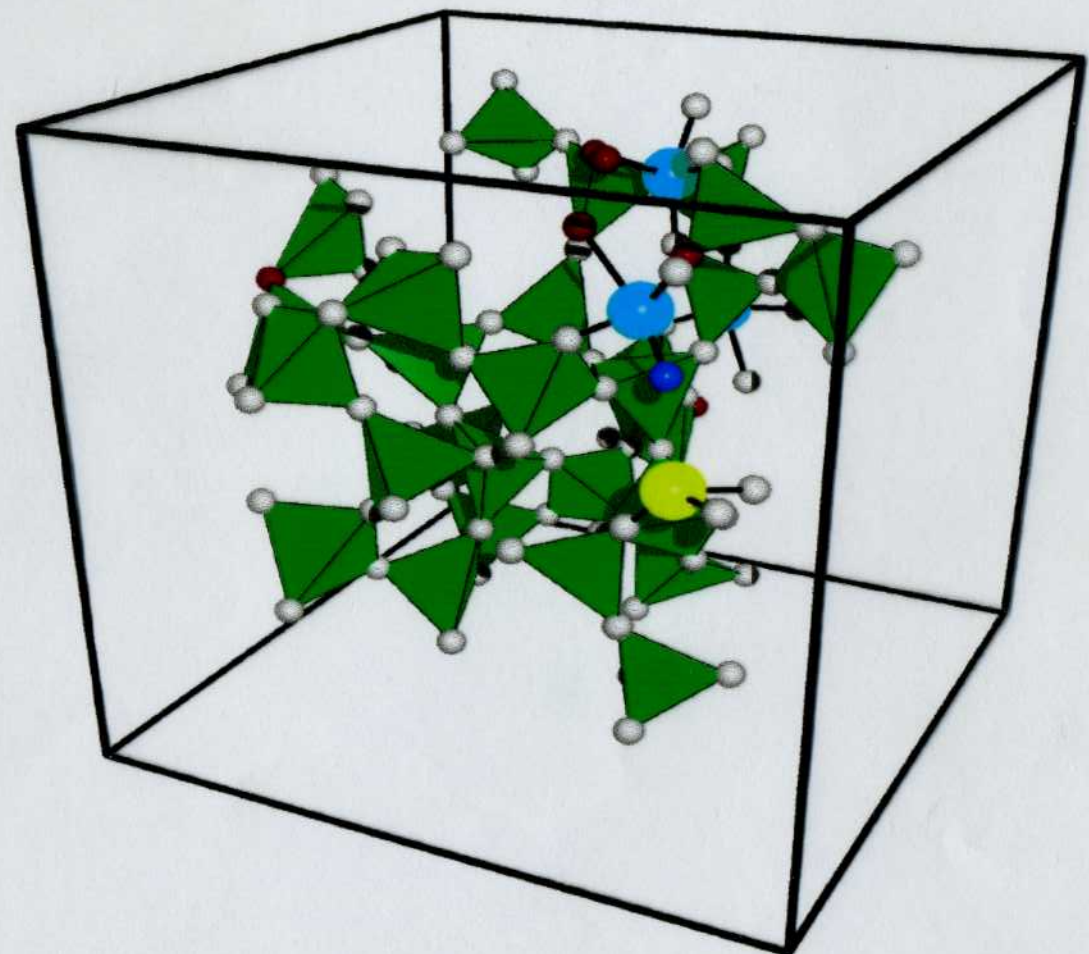
- $P_B(t)$ : Wahrscheinlichkeit, daß eine Si–O–Bindung, die zur Zeit  $t = 0$  bestanden hat, auch noch zur Zeit  $t \neq 0$  besteht.





- $\Rightarrow$  Sauerstoffdiffusion ist mit dem Bruch einer Si-O-Bindung verknüpft.

## Schnappschuß bei T=3580K



- Koordinationszahlverteilung:

$Z_{Si-O} = 3$ : 1%

$Z_{Si-O} = 4$ : 95.2%

$Z_{Si-O} = 5$ : 3.8%

$Z_{O-Si} = 1$ : 0.9%

$Z_{O-Si} = 2$ : 96.8%

$Z_{O-Si} = 3$ : 2.3%

- $\alpha$ -Relaxationszeit ist in der Größenordnung von 100ps bei 3580K.

# Molekulardynamik - Methode

Integration der Newton'schen Bewegungsgleichungen  
der klassischen Mechanik:

$$m_i \frac{d^2 \vec{r}_i}{dt^2} = \vec{F}_i = - \frac{\partial U(\vec{r}_1, \dots, \vec{r}_N)}{\partial \vec{r}_i}$$

Massen mal Beschleunigung = Kraft = negativer Gradient der potentiellen Energie

Aber: Atome = Kerne + Elektronen  $\Rightarrow$

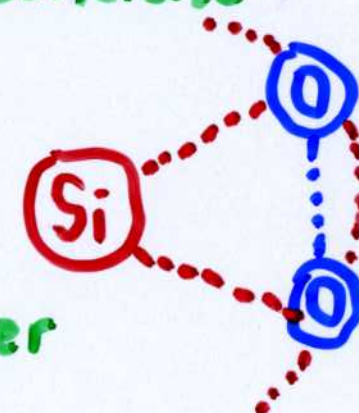
QUANTENMECHANIK erforderlich!

$\hookrightarrow$  "ab initio" Quantenchemie  $\Rightarrow$  effektive Potentiale

van Beest, Kramer, van Santen (1990)

$$\Phi(r_{ij}) = \frac{1}{r_{ij}} q_i q_j + A_{ij} \exp(-B_{ij} r_{ij}) - C_{ij} / r_{ij}^6$$

$i, j \in [Si, O, Na]$  "Simulation" gerichteter kovalenter Bindungen mit Paarpotentialen



# Molekulardynamik - Methode

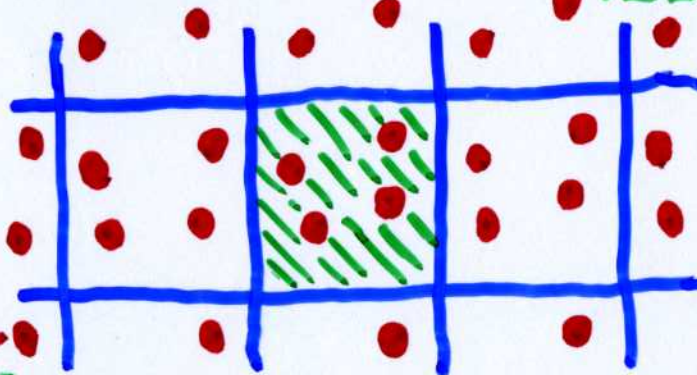
- Näherungen:
1. KLASISCHE MECHANIK statt QUANTENMECHANIK
  2. Nur WINZIGKLEINER AUSSCHNITT aus System wird SIMULIERT!

$1\text{ cm}^3$  Material  $\geq 10^{22}$  Atome  $\Rightarrow$  Rechner hoffnungslos überfordert!

$\Rightarrow$  kubische Box, KANTENLÄNGE z.B.  $48.73\text{ \AA}$ , enthält nur 8016 Atome (Dichte =  $2.37\text{ g/cm}^3$  vorgegeben)

Oberflächen-effekte VERMIEDEN durch periodische Randbedingungen

ganzer Raum wird periodisch „ausgefüllt“ mit identischen Bildern der zentralen Simulation



System  
"quasi-unendlich"

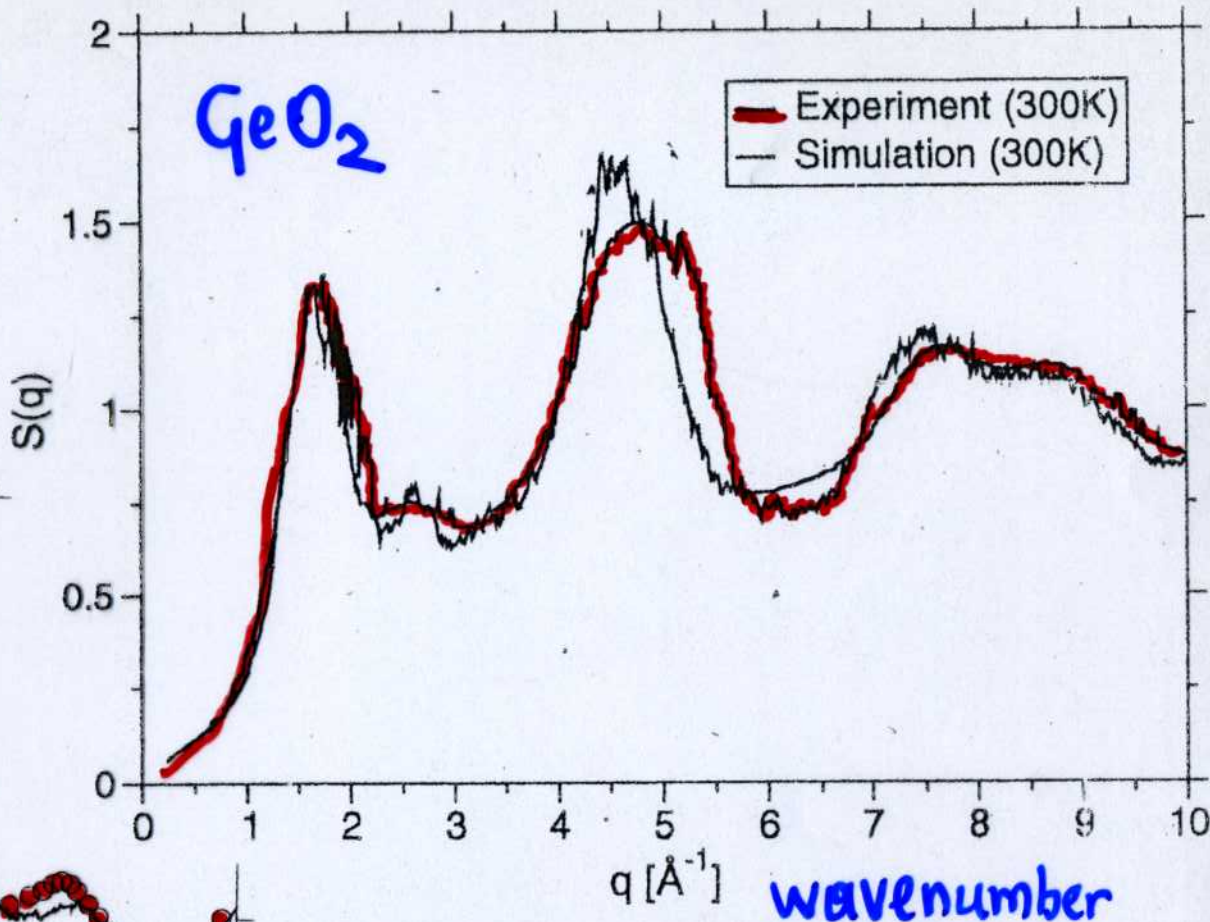
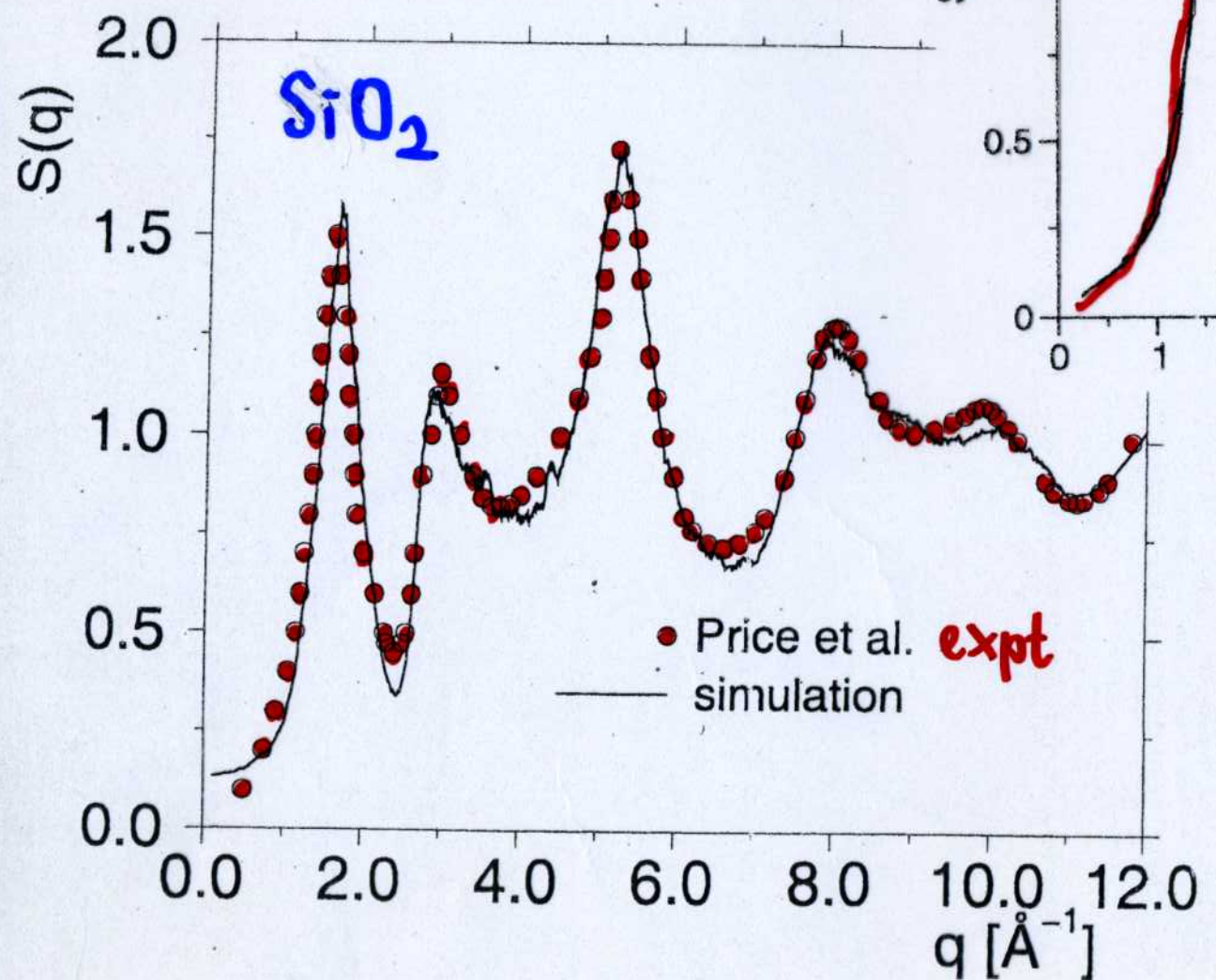
BOX  $\Rightarrow$  Atome wechselwirken mit allen periodischen Bildern

$\Rightarrow$  EWALD-Summatiion notwendig

3. Diskreter Zeitschritt:  $dt \rightarrow \Delta t = 1.6 \times 10^{-15}\text{ sec} \rightarrow 12\text{ Mio Zeitschritte} \leq 20\text{ Nanosek. Realzeit}$

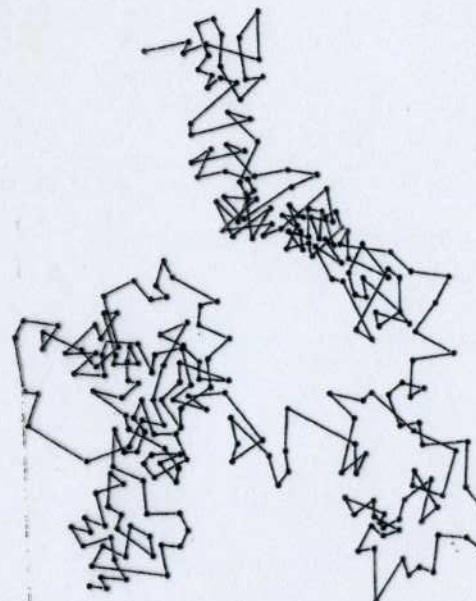
# STATIC STRUCTURE FACTOR

## neutron scattering data



NO ADJUSTABLE  
PARAMETERS !

## Mittleres Verschiebungsquadrat der Teilchen



Brown'sche Bewegung

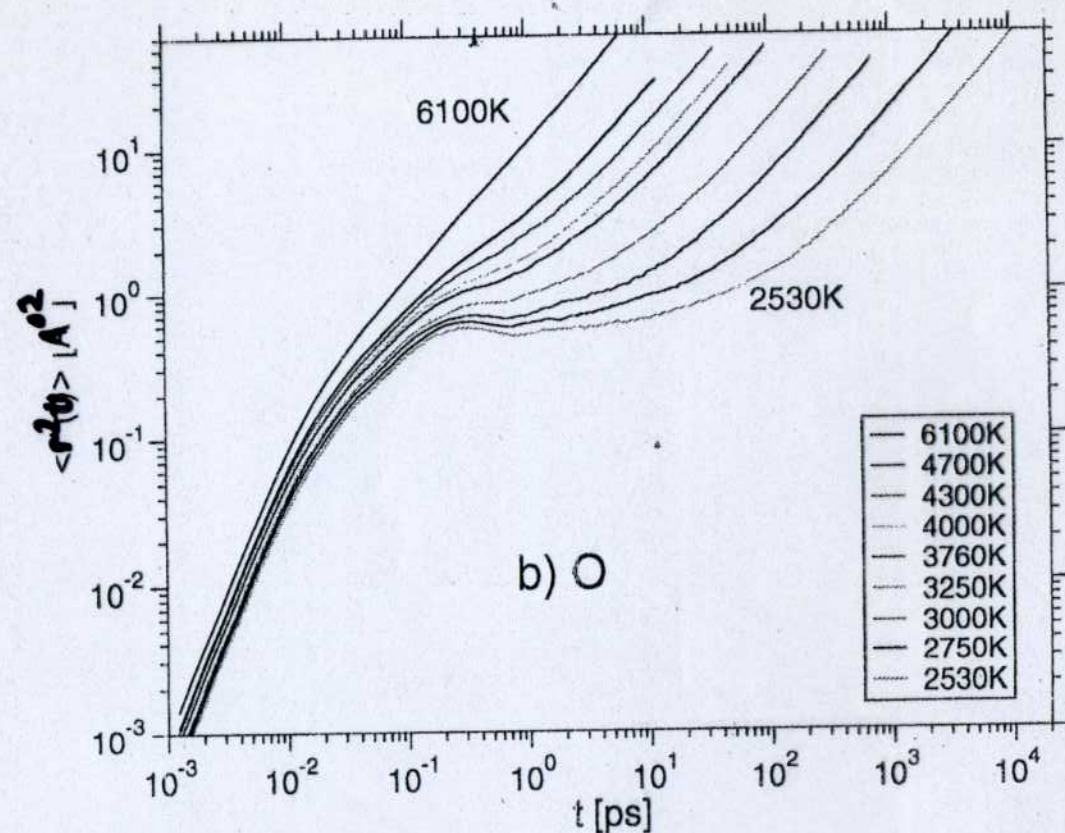
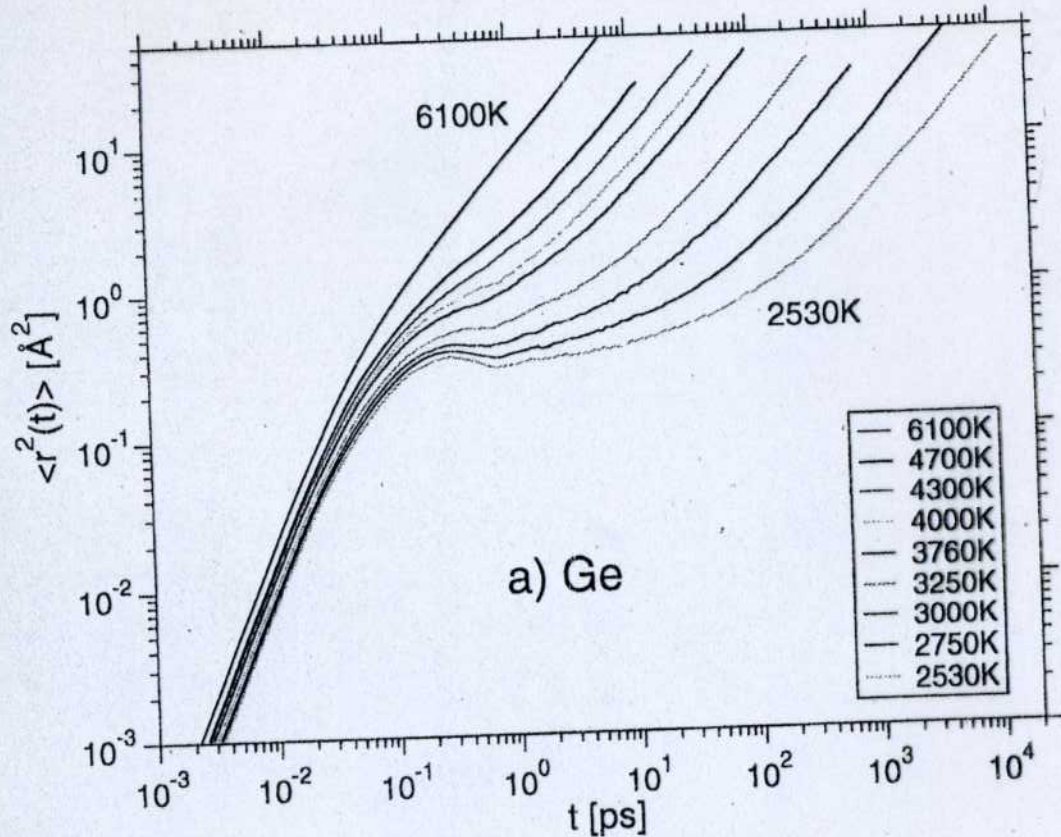
Brown'sche  
Bewegung :  
Zufallsweg

EINSTEIN:

$$\langle [\vec{r}(t) - \vec{r}(0)]^2 \rangle = 6 D t$$

ZEIT  
Diffusionskonstante

# MEAN SQUARE DISPLACEMENTS of the particles



$\langle r^2(t) \rangle \propto t^2$   
ballistic regime

$\langle r^2(t) \rangle \approx \text{constant}$   
CAGE EFFECT

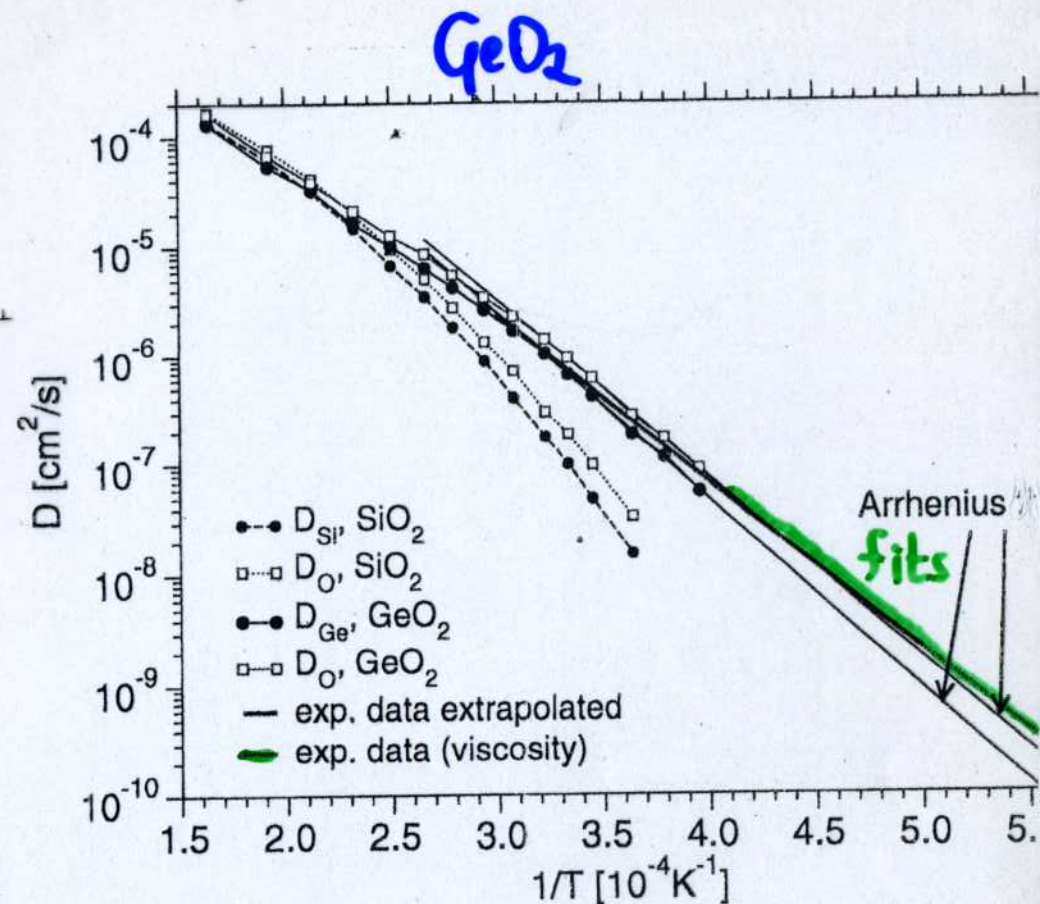
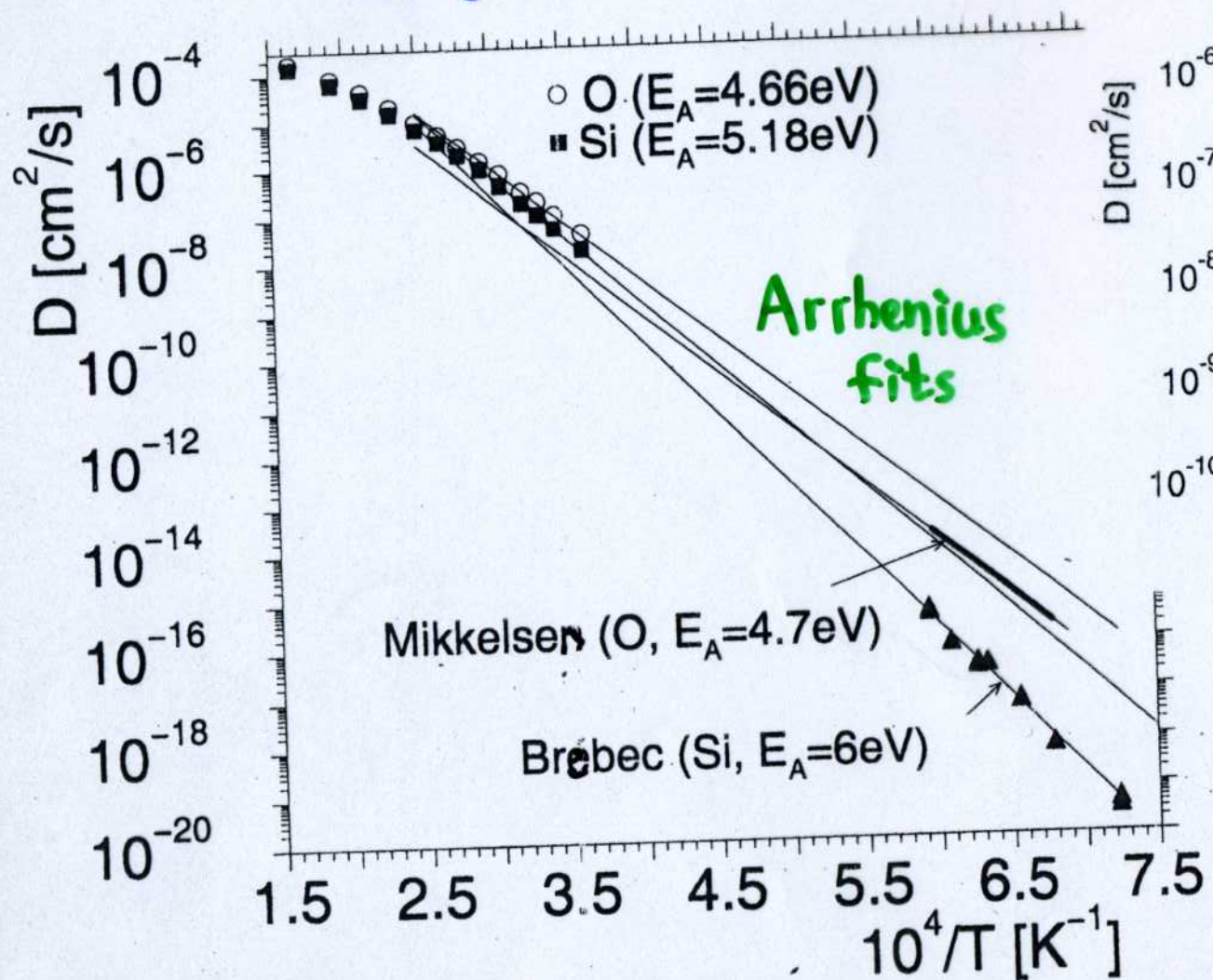
$\langle r_x^2(t) \rangle = 6 D_\alpha t$   
diffusive regime (Einstein relation)

$D_\alpha$  = self-diffusion coefficient  
( $\alpha = \text{Ge or O}$ )

# SELF DIFFUSION COEFFICIENTS

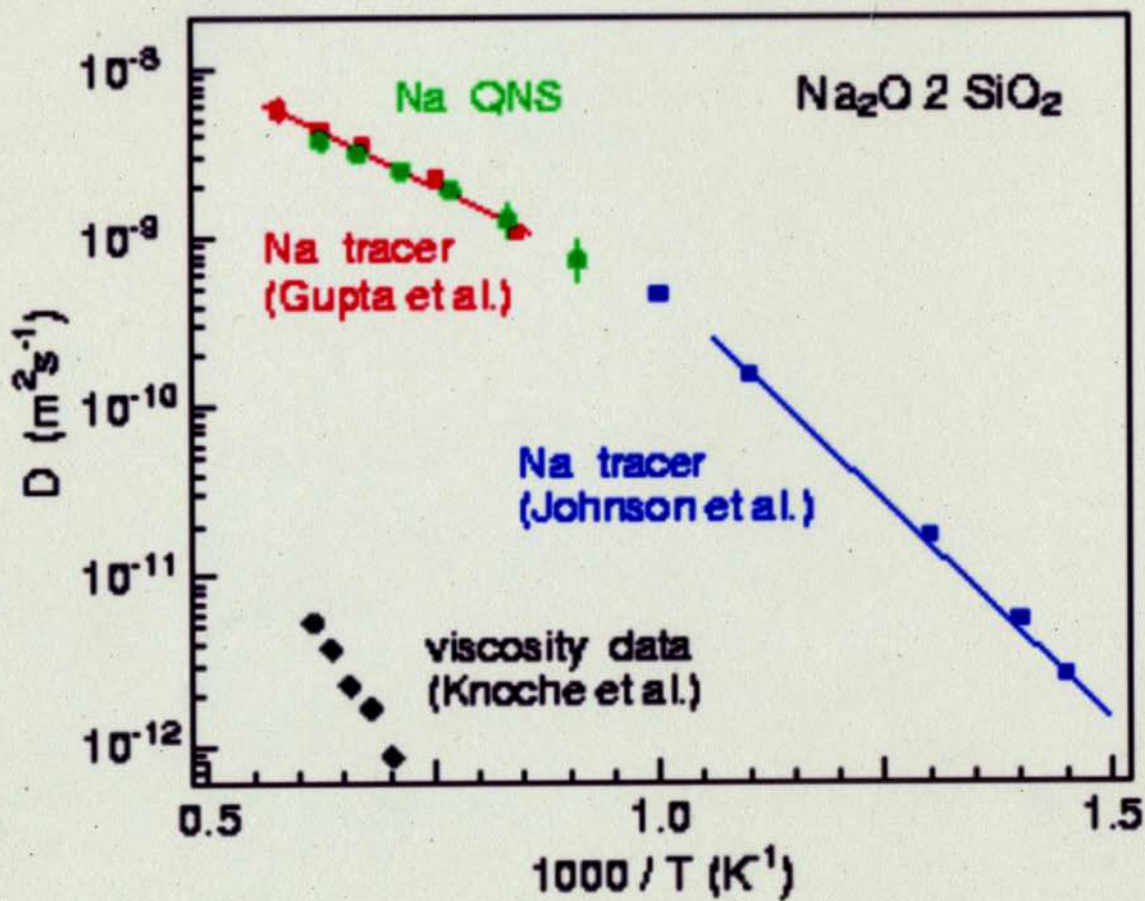
$$D \propto \exp(-E_A/k_B T)$$

$\text{SiO}_2$  (Horbach & Kob 1999)



curvature at high T:  
qualitatively similar  
to FRAGILE  
glassformers

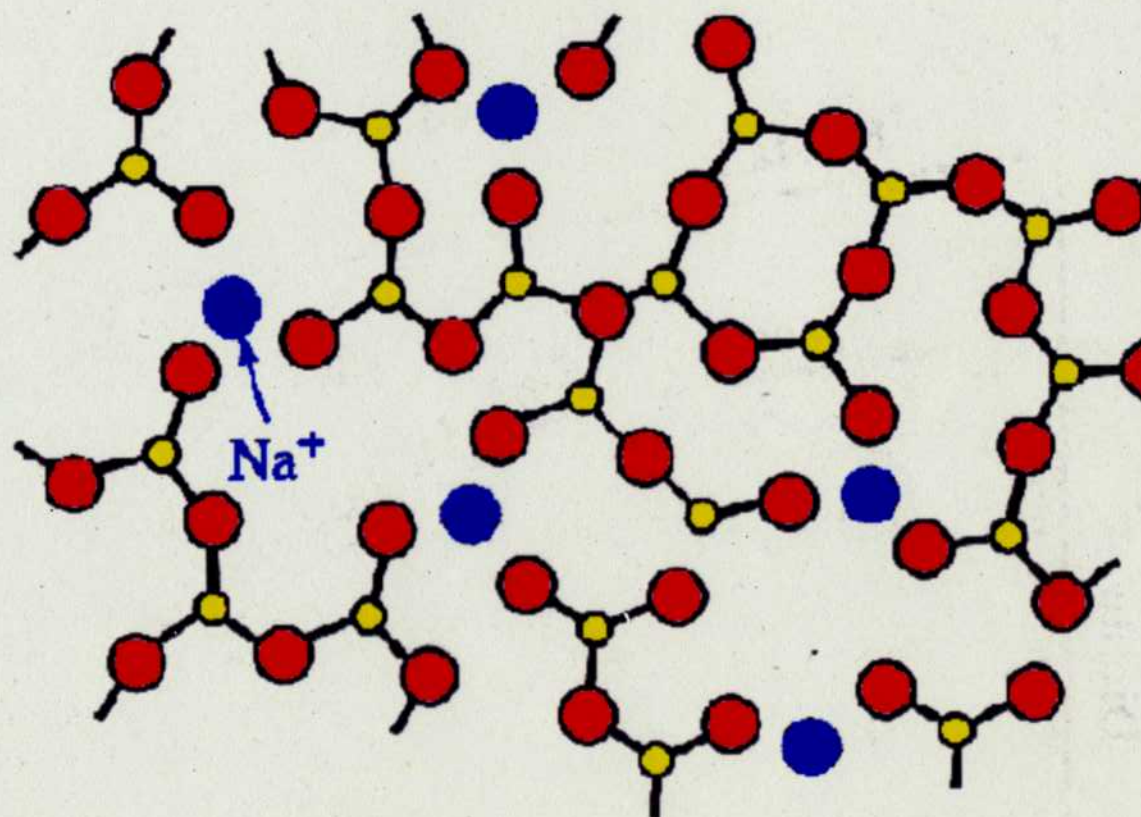
# Diffusion in Sodium Silicates



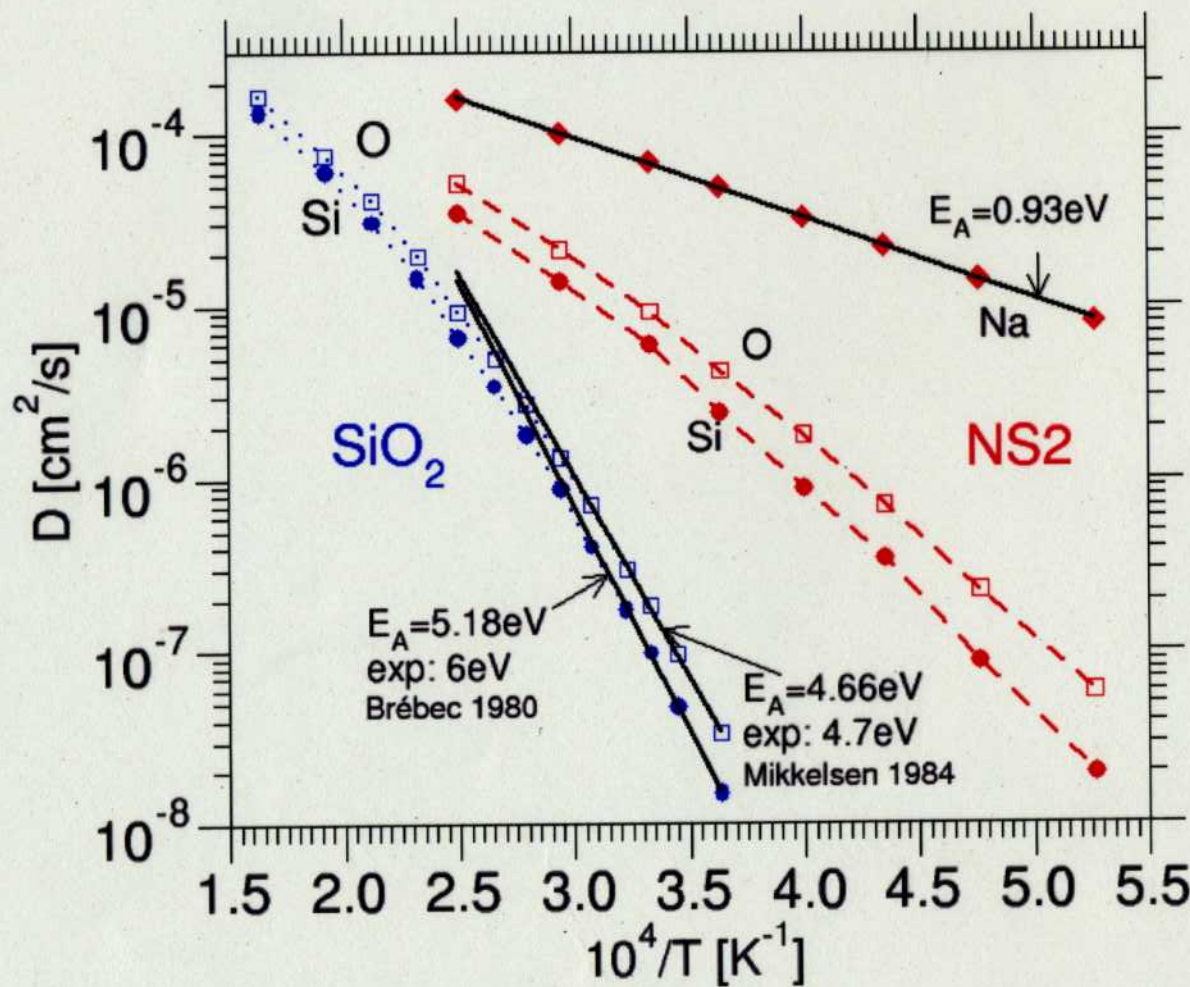
ion conductor:  
fast sodium motion  
in “ $\text{SiO}_2$  matrix”  
even around 1700K

# Structure of Sodium Silicates

- structure of pure  $\text{SiO}_2$ : disordered network of  $\text{SiO}_4$  tetrahedra
- +  $\text{Na}_2\text{O}$ : disrupted network structure:

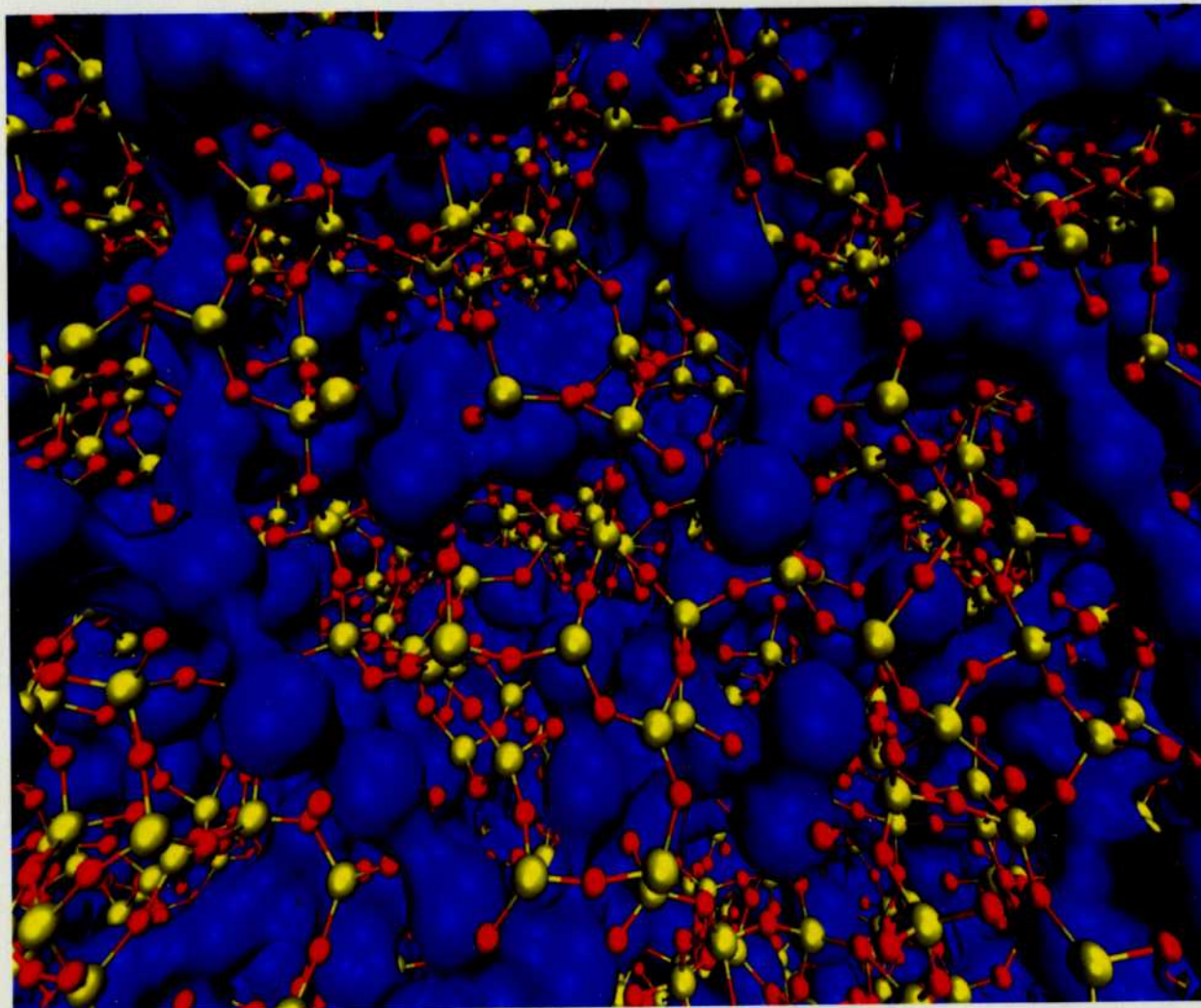


# Self Diffusion Constants for NS2



- Na diffusion 2 orders of magnitude faster around 2000 K
- relation of Na motion to intermediate range order?

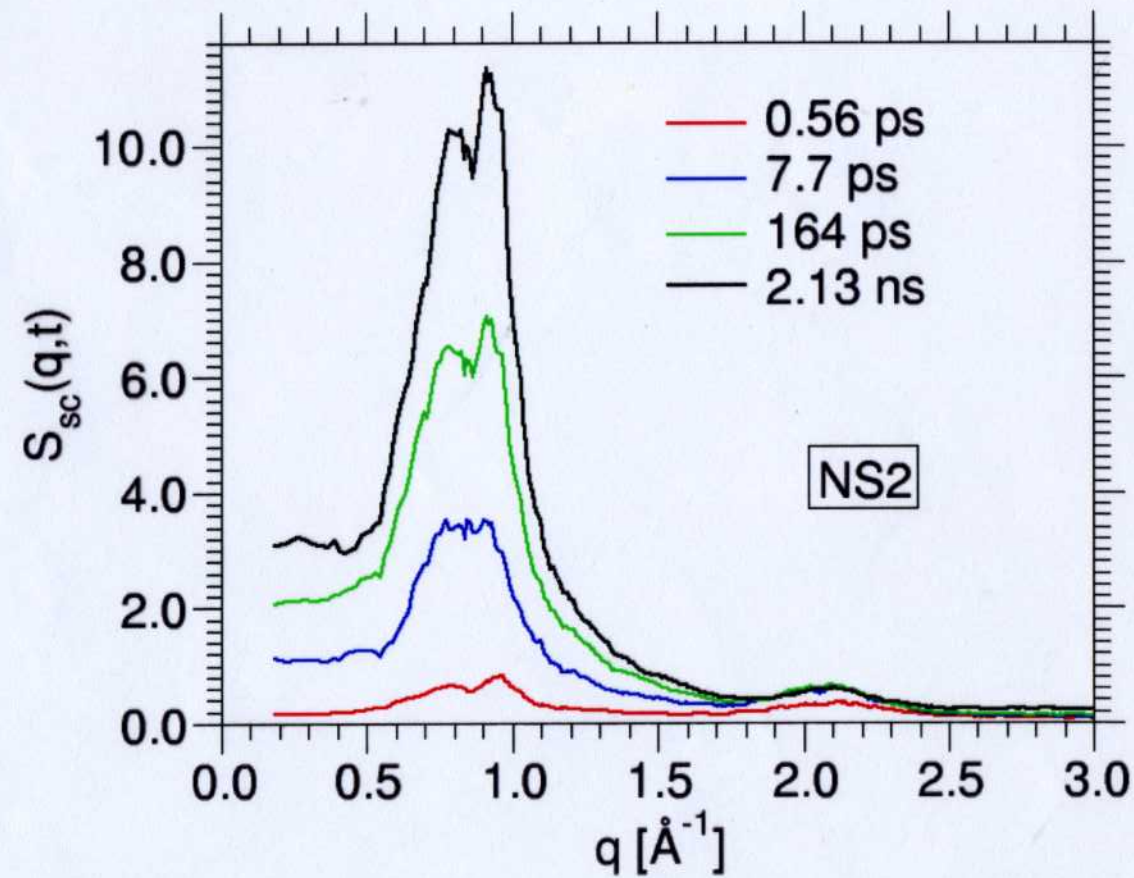
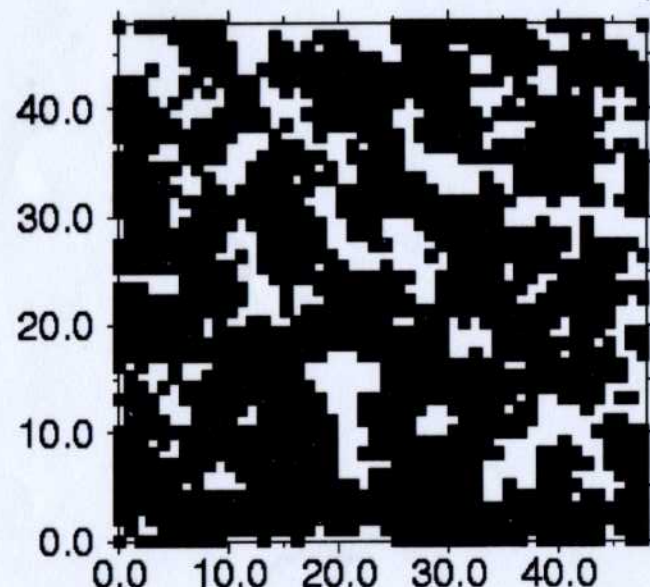
# Schnappschuss: NS3 bei 2100 K



- Diffusionskanäle für Na in der statischen Struktur
- Nachweis durch AFM ?

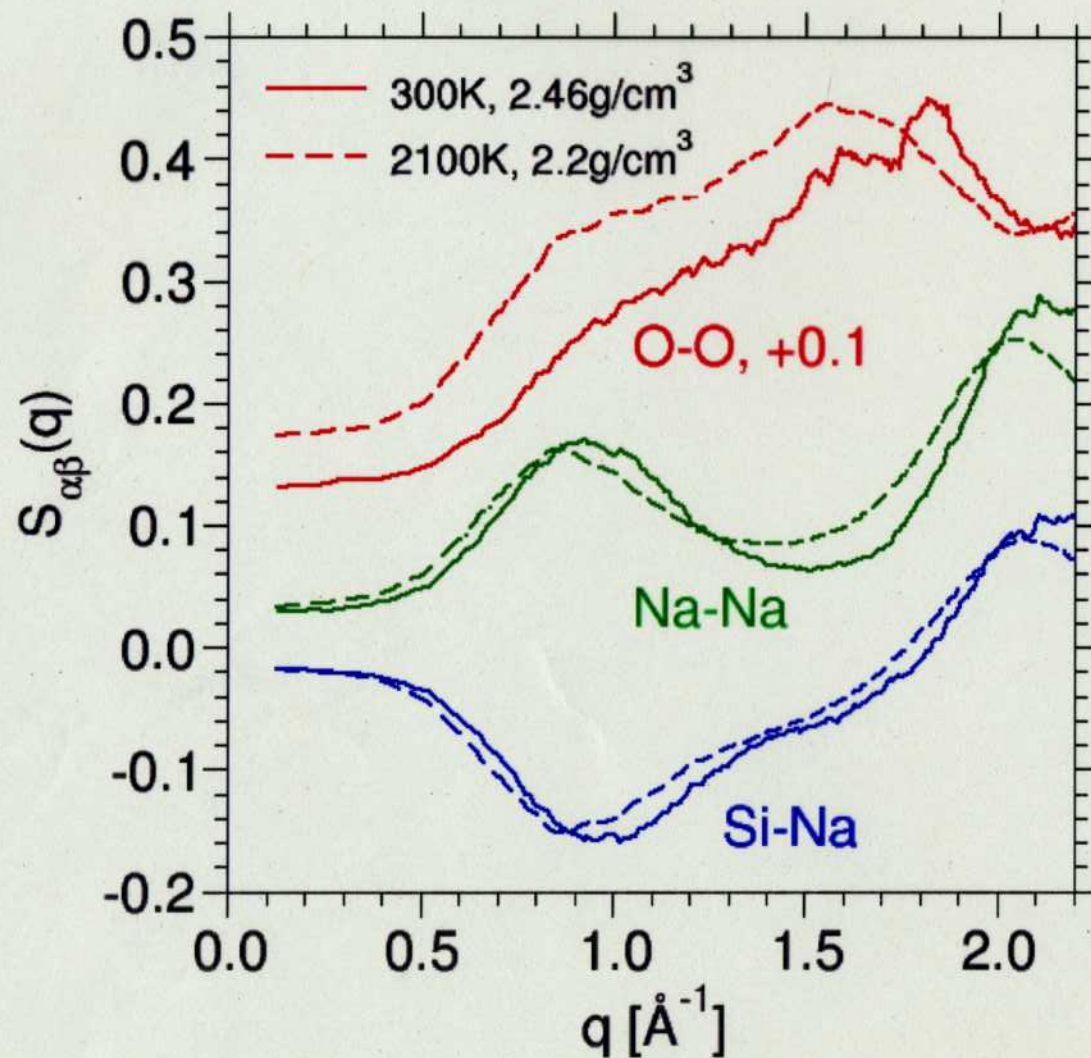
# Structure Factor of Channel Network

$t=164$  ps:



structure of Na trajectories reflected by prepeak in static structure factor at  $0.9 \text{\AA}^{-1}$

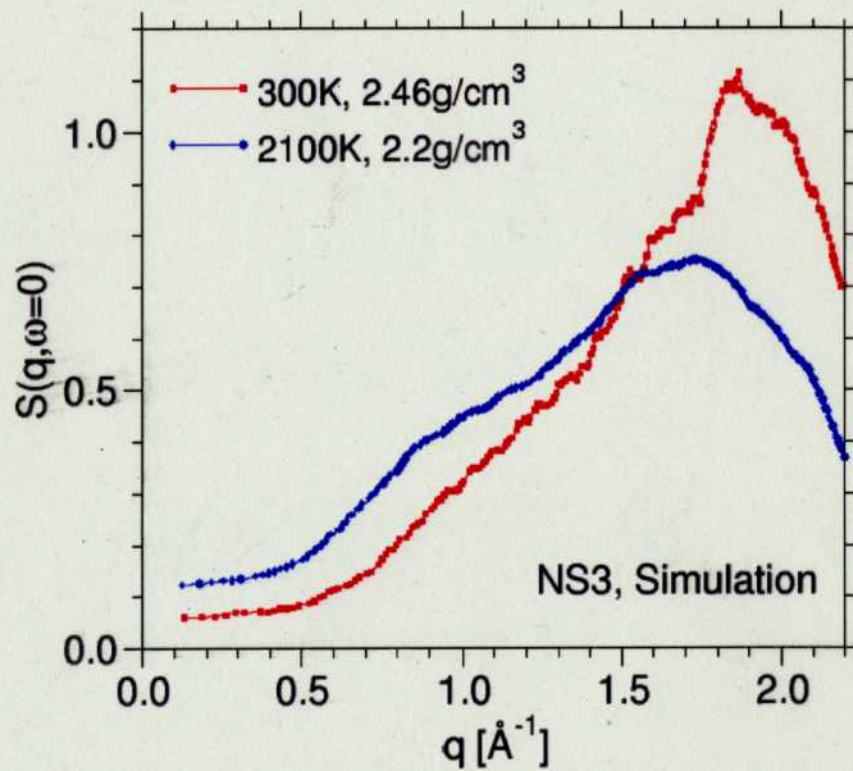
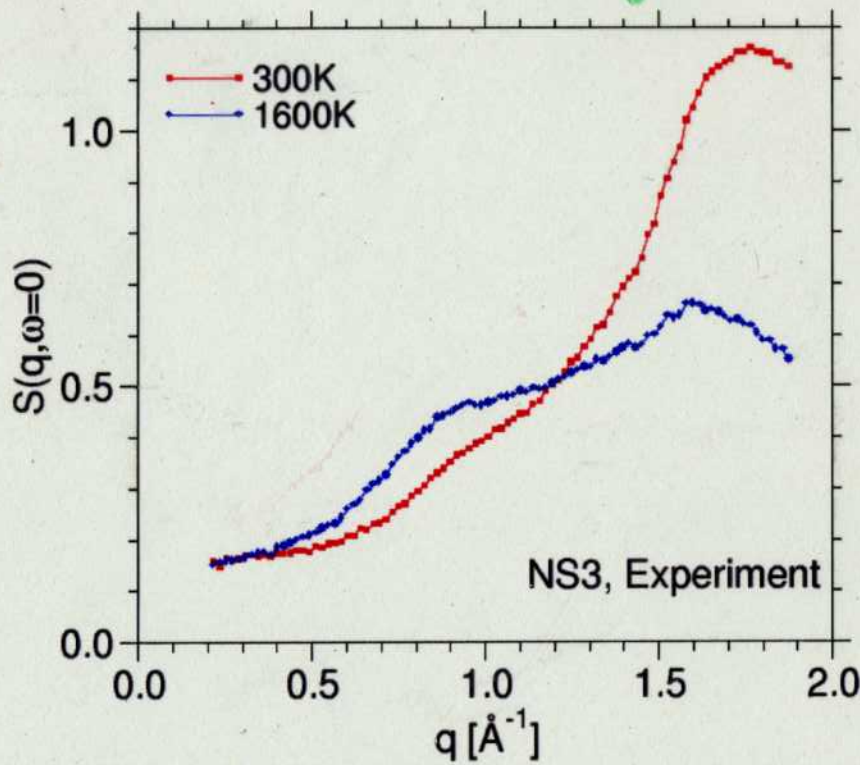
# NS3: Partial Structure Factors



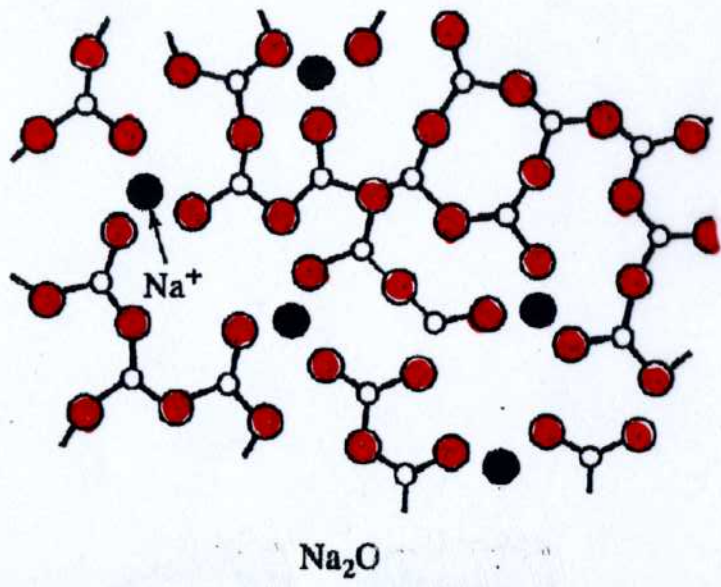
→ due to smaller density peak in total  $S(q)$  at  $0.9 \text{\AA}^{-1}$  for the molten system more pronounced

# NS3: Neutronenstreuung vs. MD

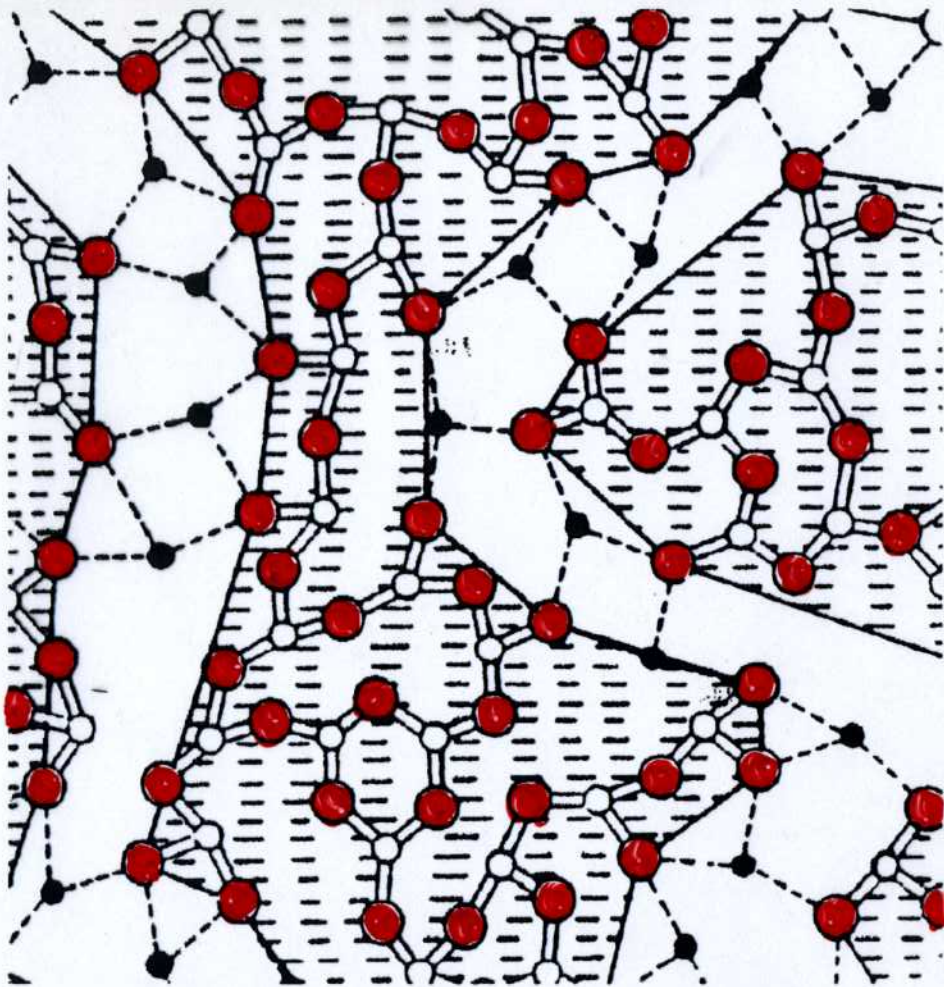
A. Meyer



Schulter bei **0.9  $\text{\AA}^{-1}$**  weniger ausgeprägt im Glas:  
intermediäre Ordnung, die mit abnehmender Temperatur  
verschwindet?



network broken up



formation of Na-rich  
channels

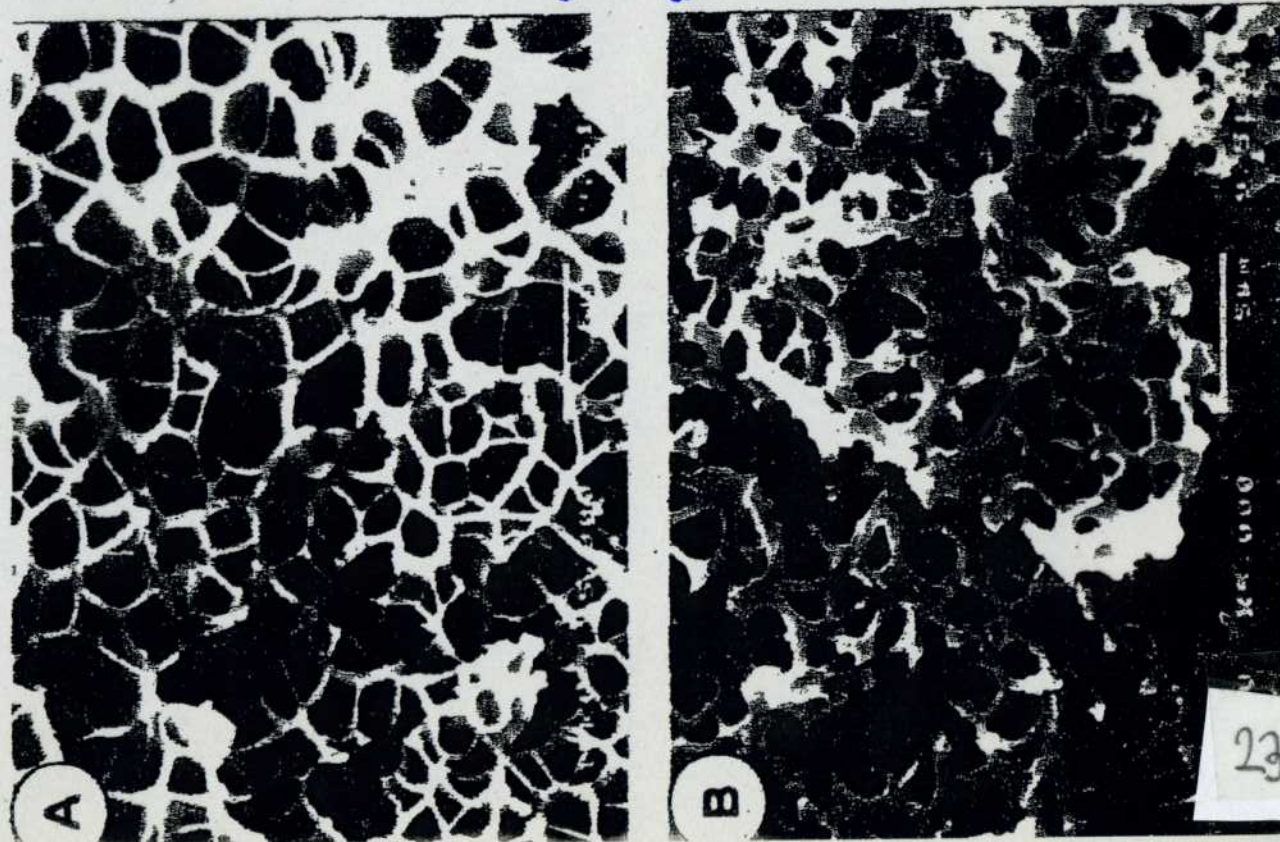
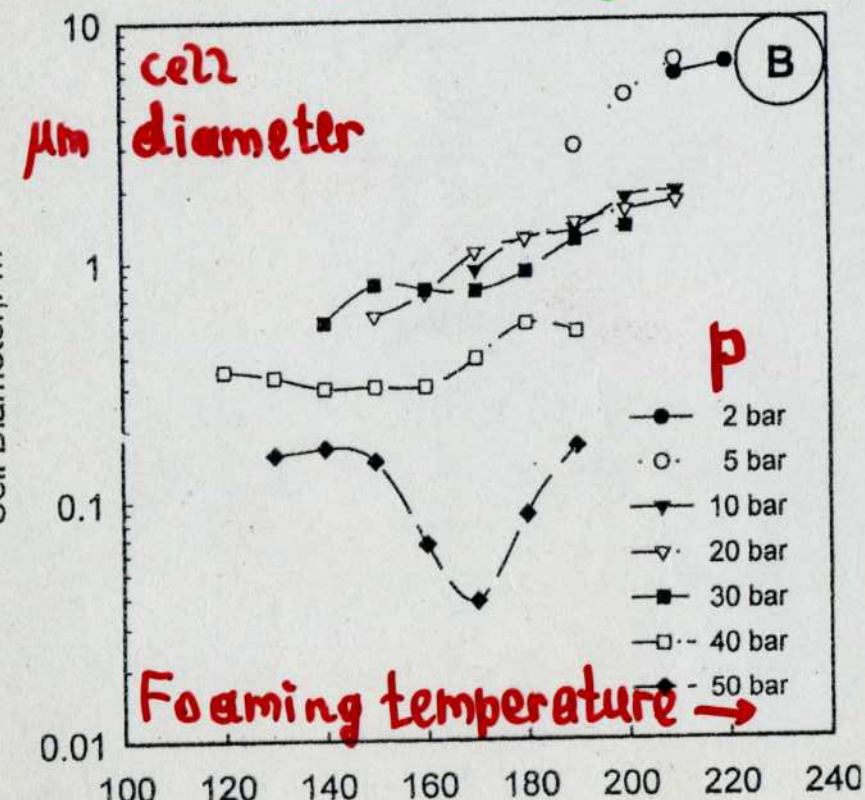
additional control variable: PRESSURE  $p$

# Recent Developments in Materials Synthesis and Processing Using Supercritical $\text{CO}_2^{**}$

By Andrew I. Cooper\*

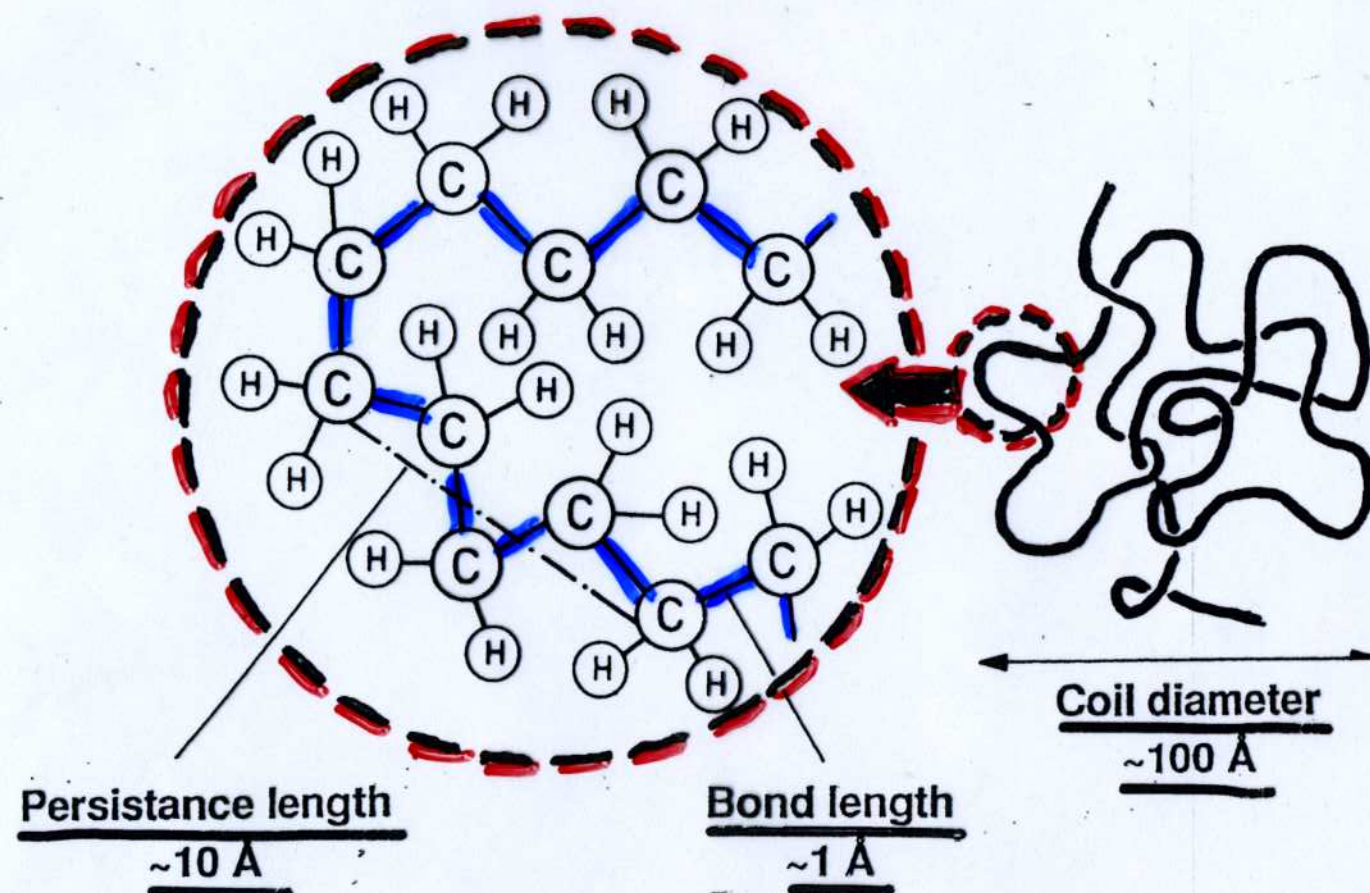
B. Krause et al., Macromolecules 2001: polysulfone, polyether sulfone,

$$T_c = 31^\circ\text{C}$$



# MACROMOLECULES: 100 - 10 000 MONOMERS

⇒ HIERARCHY OF LENGTH SCALES

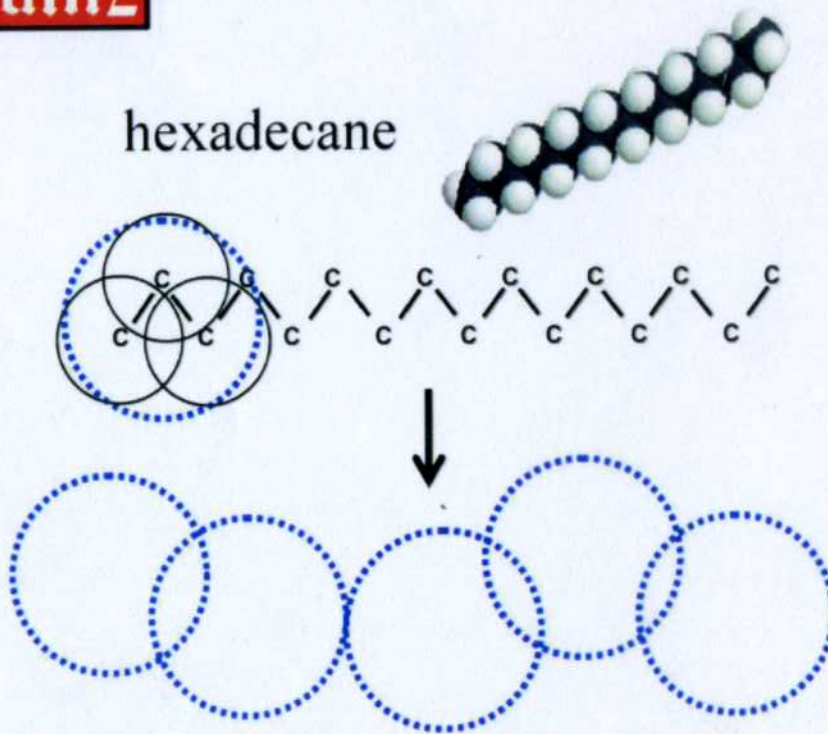


collective phenomena in multi-chain systems:

characteristic lengths  $\sim 10^3 \text{ Å}$  e.g. POLYMER MIXTURES

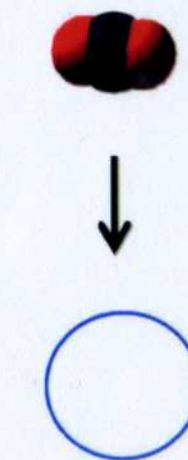
## Coarse graining

hexadecane



$C_{16} H_{34}$  - chain of 5 monomers

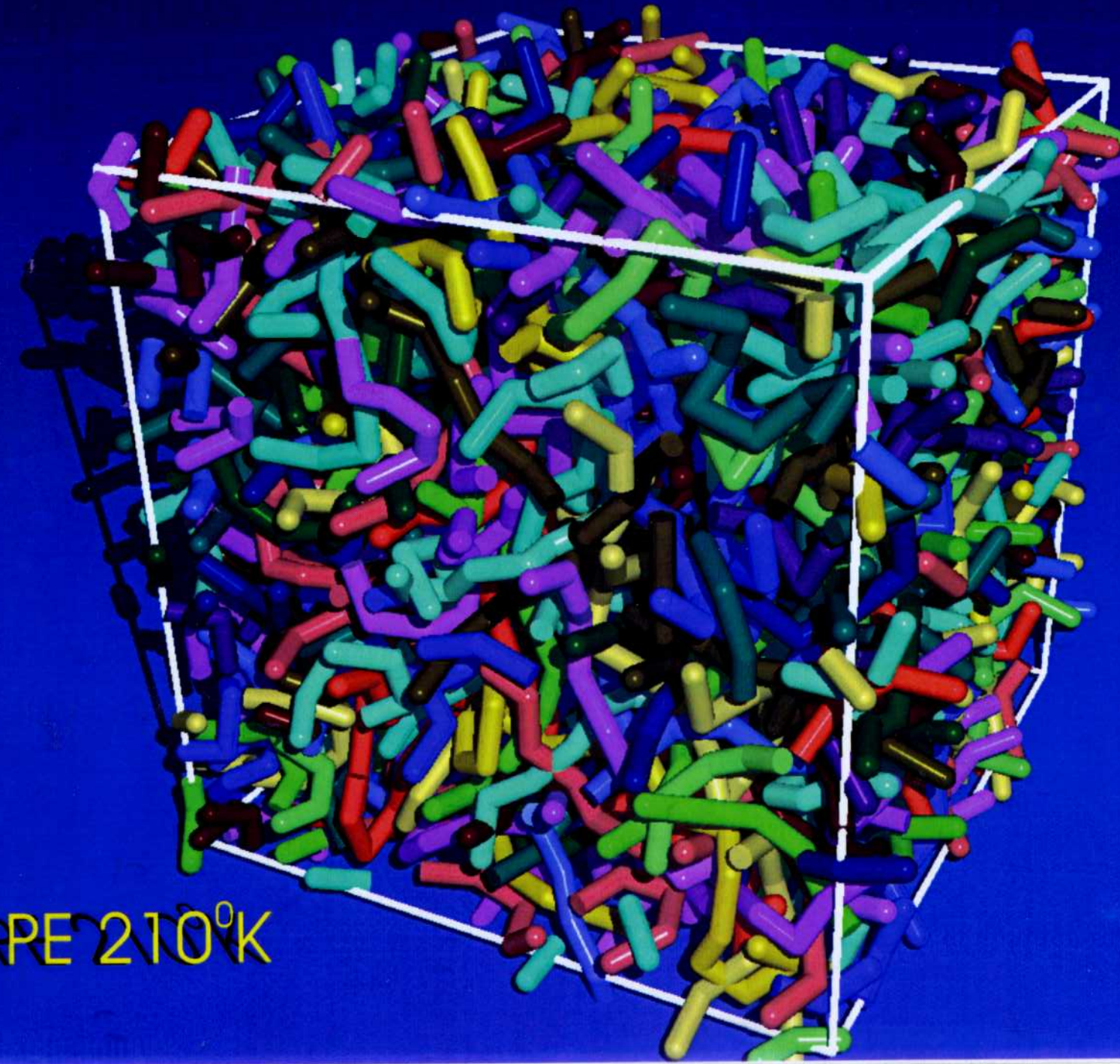
carbon dioxide



$CO_2$  - a single LJ-bead

Bead–spring model : LJ+FENE potential

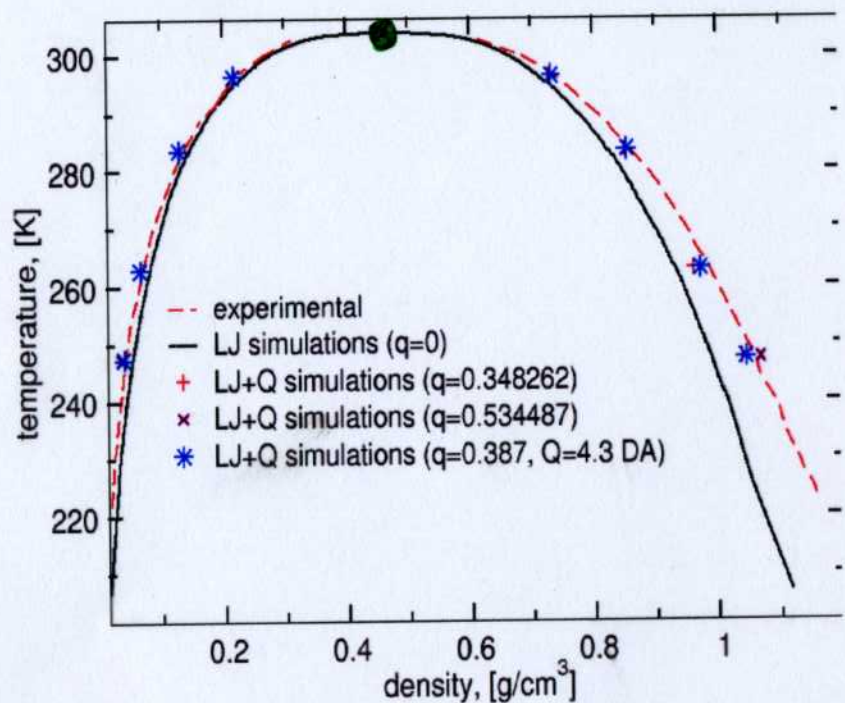
PRE 210<sup>0</sup>K



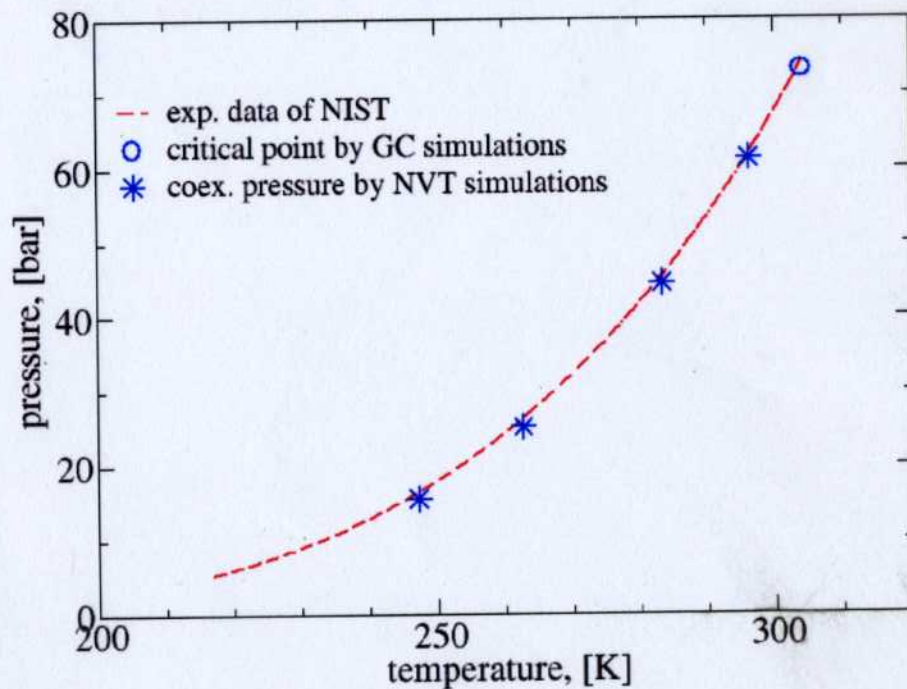
# MC simulations of CO<sub>2</sub> using Isotropic Quadrupolar Potential

$$U_{IQ}(r) = -\frac{7}{5}\epsilon q \left(\frac{\sigma}{r}\right)^{10}$$

coexistence curve



vapor-pressure curve



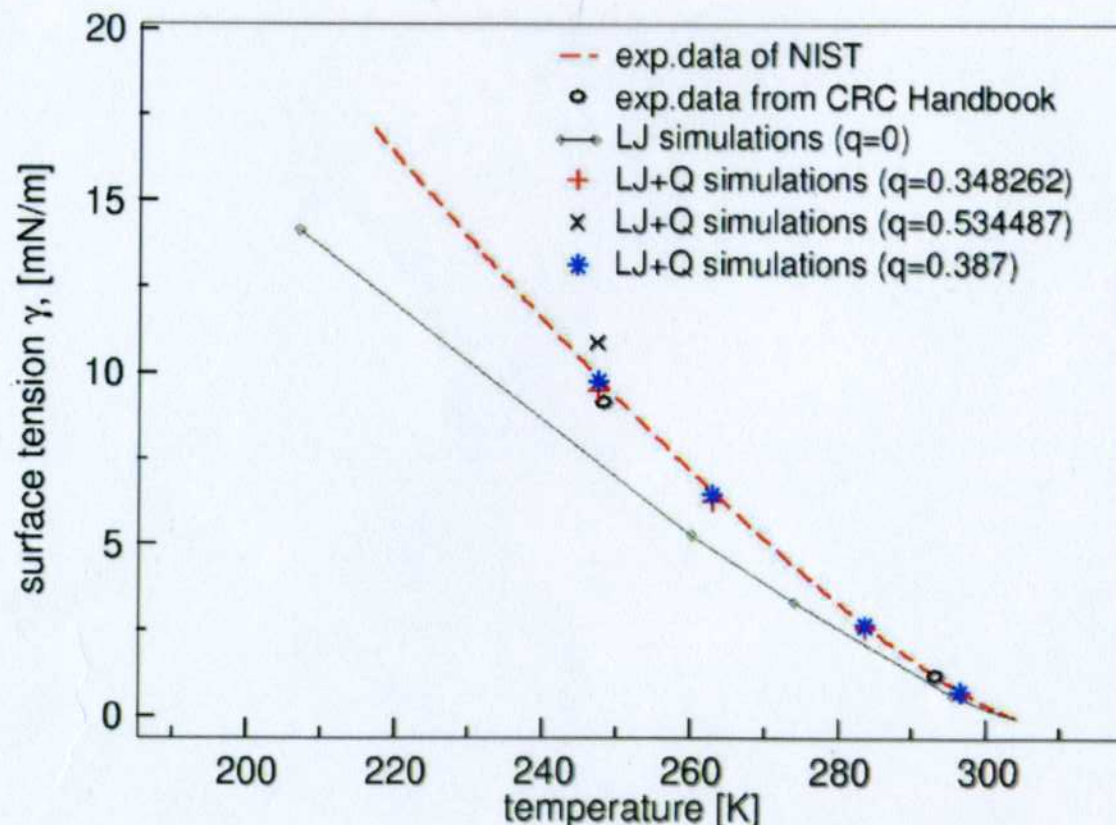
$$q = \frac{Q^4}{\epsilon \sigma^{10} k_B T}$$

Q = physical quadrupole moment

No fit parameter!

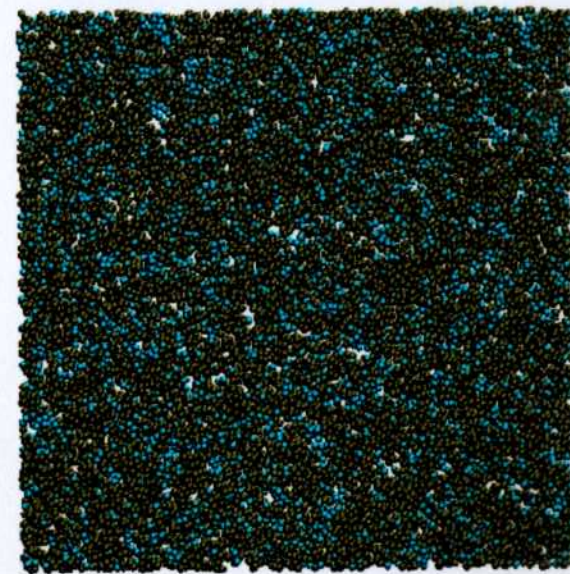
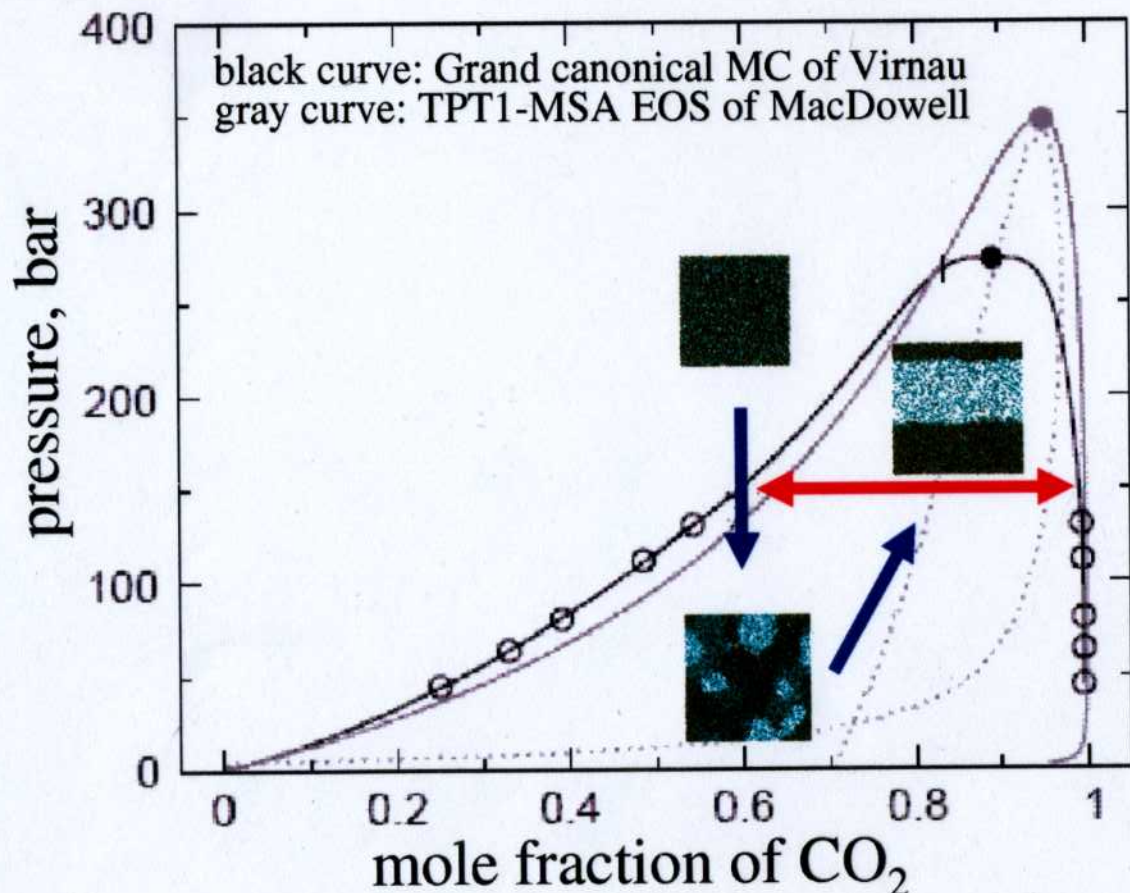
$$U_{LJ}(r) = 4\epsilon \left[ \left(\frac{\sigma}{r}\right)^{12} - \left(\frac{\sigma}{r}\right)^6 \right]$$

## Prediction of the surface tension of CO<sub>2</sub>



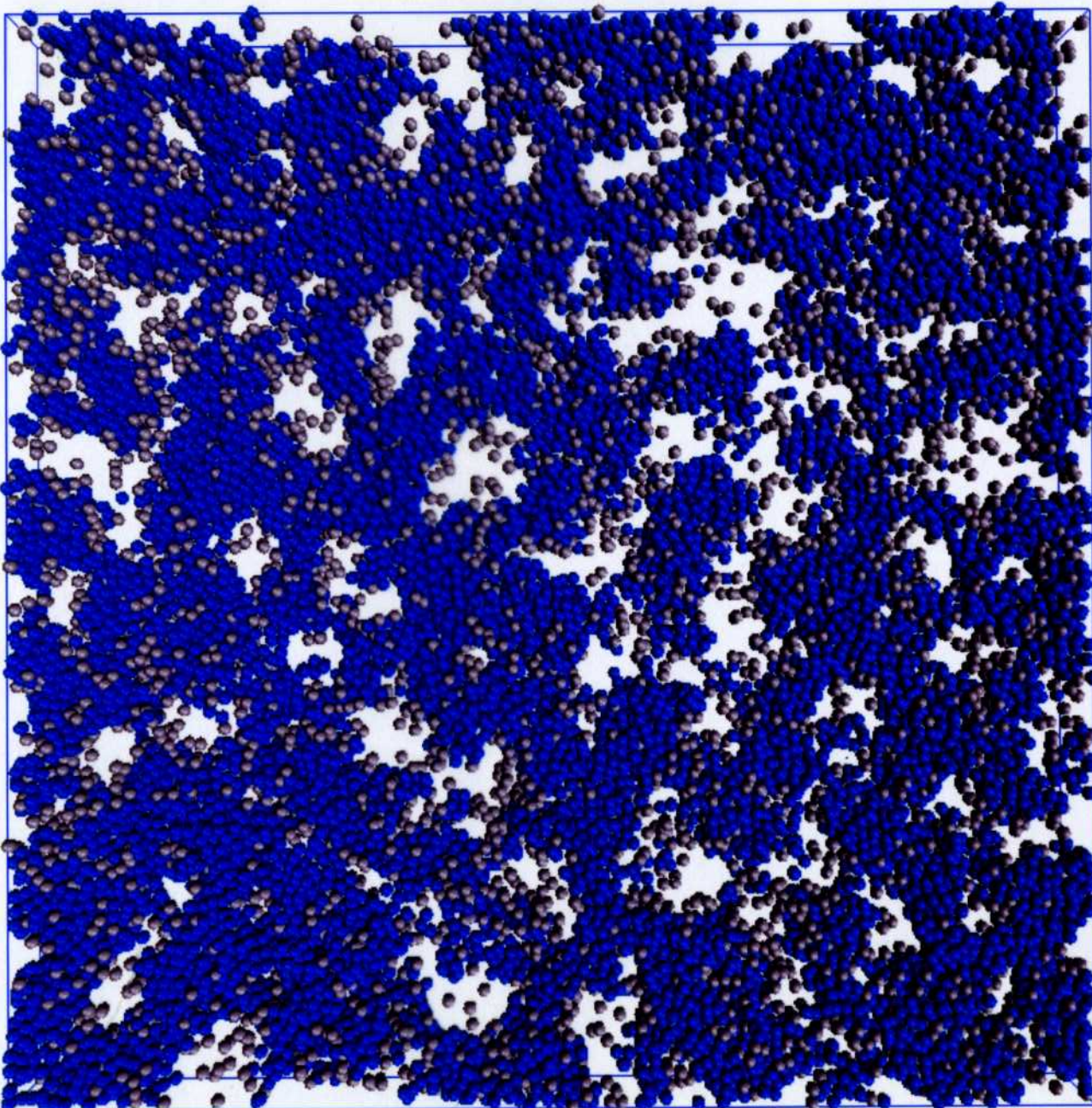
No fit parameter!

# Phase diagram of CO<sub>2</sub>+hexadecane at 185°C ( $T^*=1.16$ )



$\approx 100\sigma$   
(435136 particles)

Simulations on a long length scale!  
**ESPResSo** parallelized simulation package



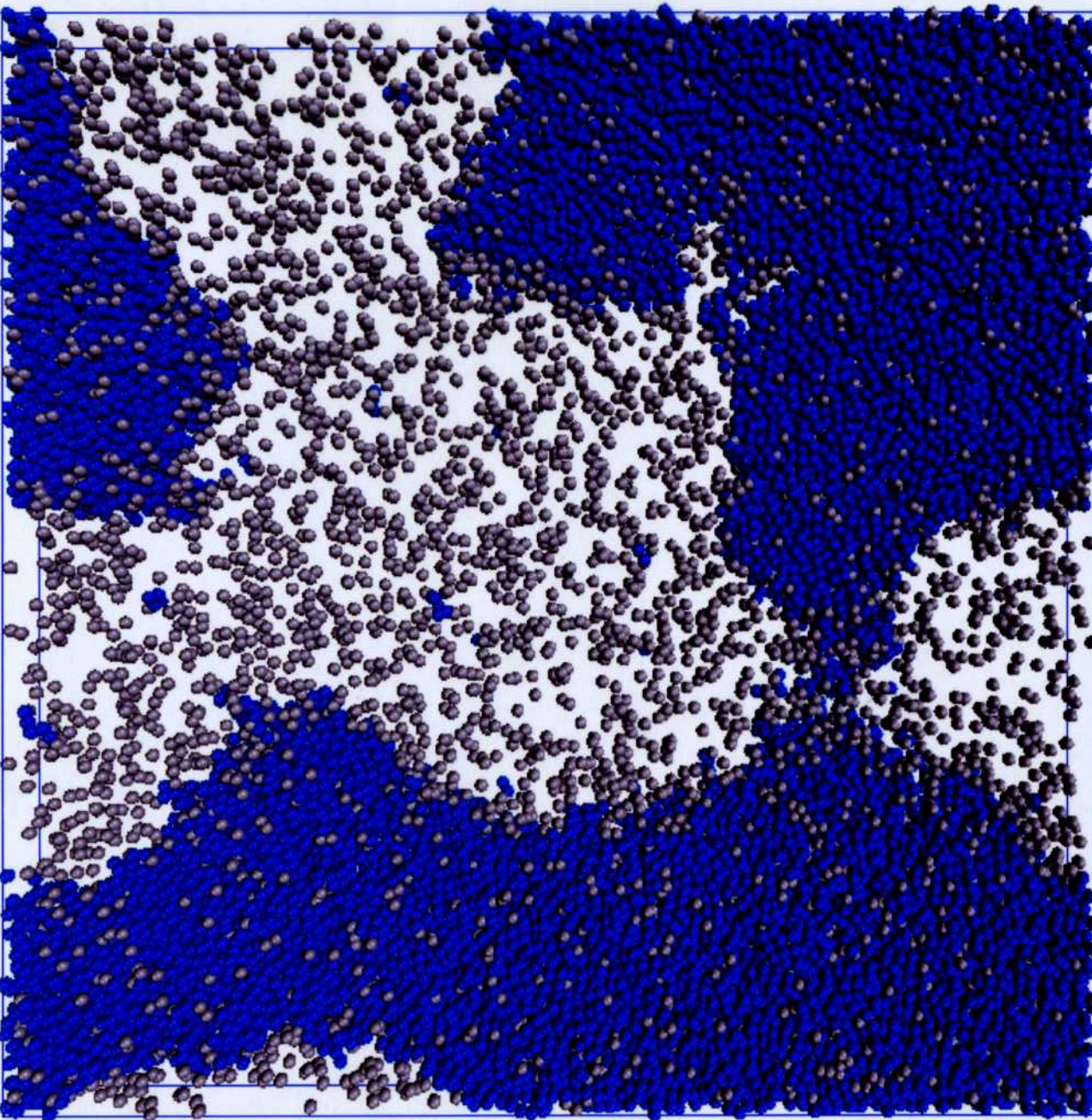
$t = 100$

MD time  
unit =  $6 \left( \frac{m}{E} \right)^{1/2}$   
 $\approx 1.6 \text{ ps}$

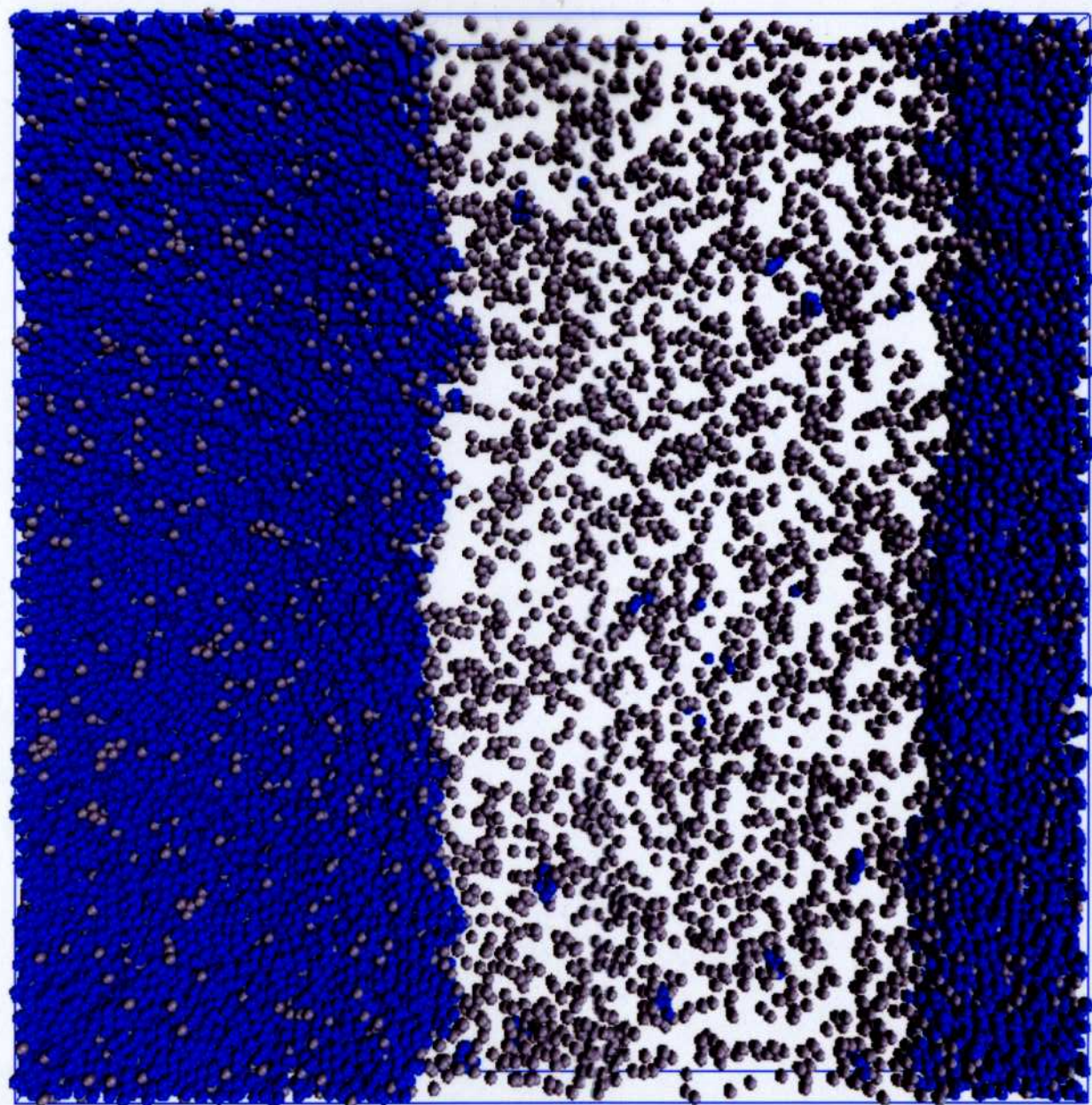
MD = Newton's  
equations

$\Delta t = 0.002$

MD time units



$t=1000$



$\tau = 5000$

equilibrium

theory

$$(\text{off-critical}) R(\tau) \propto \tau^{1/3}$$

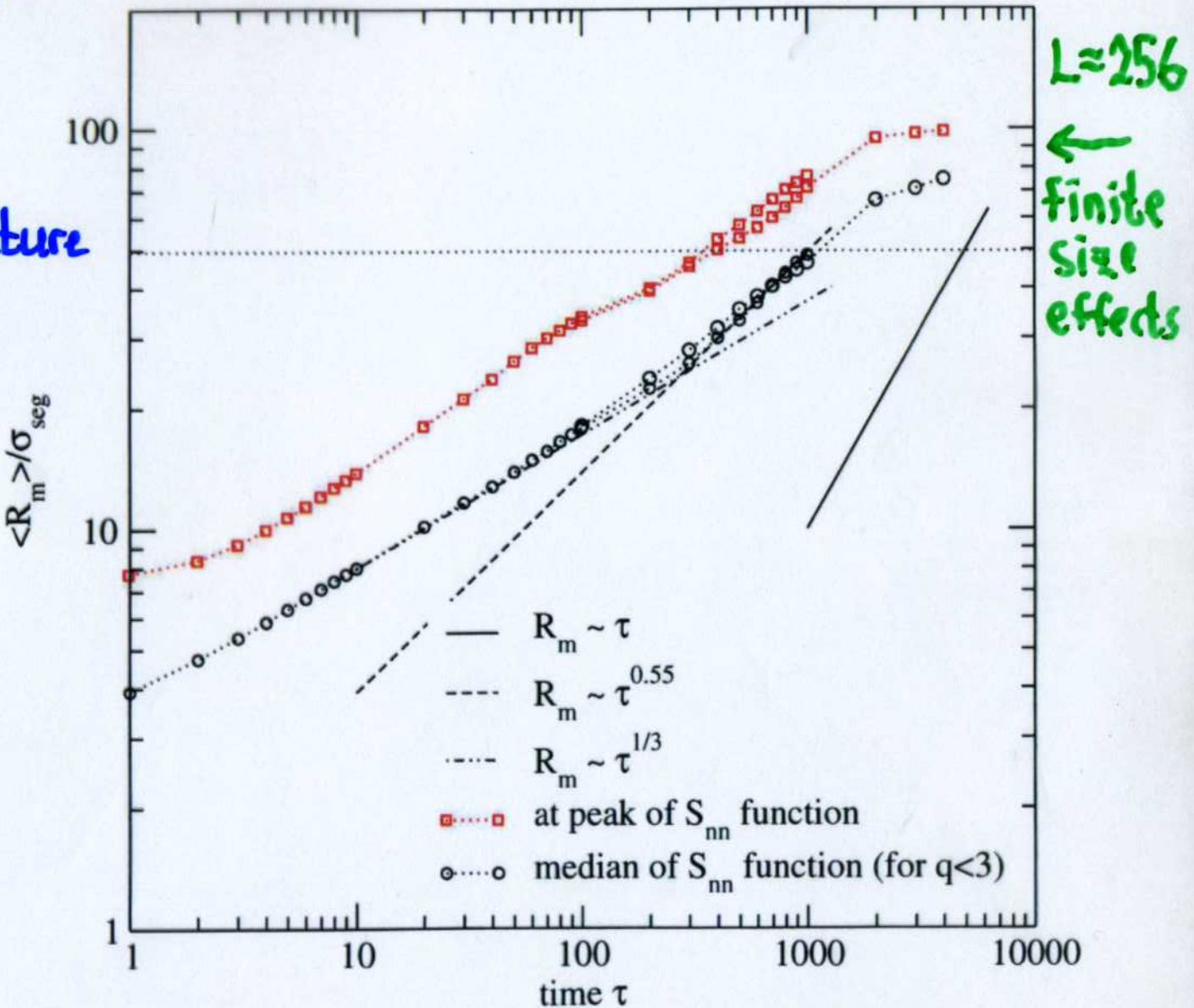
$$(\text{critical quench}) \quad R(\tau) \propto \tau^1$$

needs PERCOLATING structure

Later times: crossover effects?

$$R_m(\tau) = 2\pi \frac{\sum_{q=0}^{q_c} S(q, \tau)}{\sum_{q=0}^{q_c} q S(q, \tau)}$$

Characteristic domain size calculated using the density-density structure function



# SCHLUSSFOLGERUNGEN

- mit Molekulardynamik-Simulation lässt sich über KINETIK und DYNAMIK von KONDENSIERTER MATERIE viel lernen
- Grenzen der Methodik bewußt bleiben:
  - .. "stiefmütterliche" Berücksichtigung der Quantenmechanik
  - .. Güte der "effektiven Potentiale" schränkt Vergleich mit Experimenten wesentlich ein
  - .. nur nanoskopisch kleine Längenskalen und entsprechend kurze Zeiten zugänglich